

29729

YILDIZ TEKNİK ÜNİVERSİTESİ  
FEN BİLİMLERİ ENSTİTÜSÜ

ÇOK KATMANLI ALGILAYICININ OPTİMİZASYONU  
VE AĞIRLIKLARA BAĞLI DUYARLIĞI

YÜKSEK LİSANS TEZİ  
ELEKTRONİK VE HABERLEŞME MÜHENDİSİ  
LALE BAŞTÜRK

E.Ğ. YÜKSEKÖĞRETİM KURULU  
BÜYÜK MANTASYON MERKEZİ

İSTANBUL 1993

ANNEME VE BABAMA ,



29729

İÇİNDEKİLER

SAYFA

ÖNSÖZ

ÖZET

YABANCI DİLDE ÖZET

BÖLÜM 1 : YAPAY NÖRON AĞ YAPILARI	1-10
1.1 - Giriş	1
1.2 - Yapay Nöron Yapısı	1-4
1.3 - İşlem Elemanları	4
1.4 - Öğrenme	5
1.5 - Geriye Yayılım Öğrenme Algoritması	5-6
1.6 - Genelleştirilmiş Delta Kuralı	6-10
BÖLÜM 2 : ÇOK KATMANLI ALGILAYICININ PARAMETRELERİNİN OPTİMİZASYONU	11-39
2.1 - Öğrenme Oranı	11-21
2.2 - Momentum Katsayısı	22-30
2.3 - Gizli Katman Düşüm Sayısı	31-39
BÖLÜM 3 : ÇOK KATMANLI ALGILAYICININ AĞIRLIKLARA GÖRE DUYARLIĞI	40-70
3.1 - Duyarlık Fonksiyonları	40-41
3.2 - Xor Problemi İçin Duyarlık	42-44
3.3 - 3 Bit Parite Problemi İçin Duyarlık	45-50
3.4 - 4 Bit Parite Problemi İçin Duyarlık	51-64
3.5 - Gauss Problemi İçin Duyarlık	65-70
BÖLÜM 4 : SONUÇ	71
EK 1 : BİLGİSAYAR PROGRAMI	72-78
KAYNAKLAR	79
ÖZGEÇMİŞ	80

## ÖNSÖZ

Lisansüstü çalışmalarım boyunca Yapay Nöron Ağları konusundaki eğitim ve öğretime ile, bu tezin hazırlanmasında bana büyük destek olan, yol gösteren, cesaretlendiren Sayın Hocam Doç. Dr. Fikret GÜRGEN'e en derin saygı ve teşekkürlerimi sunarım.



## ÖZET

Bu çalışmada geriye yayılım algoritması kullanılarak çok katmanlı algılayıcıda optimizasyon üzerine çeşitli problemler ele alınmış ve bu problemler üzerinde çok katmanlı algılayıcının ağırlıklara bağlı olan duyarlılığı bir duyarlık ölçüsü için hesaplanmıştır.

Birinci bölümde yapay nöron ağ yapıları, işlem elemanları, yapay nöron ağlarında öğrenme konuları işlenmiştir. Bilgisayar programında kullanılan geriye yayılım öğrenme algoritması ve genelleştirilmiş delta kuralı açıklanmıştır.

İkinci bölümde xor, parite ve gauss deteksiyon problemleri üzerinde ileri yönlü çok katmanlı algılayıcının hata yakınsamasında çeşitli parametrelerin etkileri incelenmiştir ve yorumlanmıştır.

Üçüncü bölümde ise, ele alınan problemlerde her bir giriş paterni için diferansiyeli alınabilir aktivasyon fonksiyonlu tek çıkışlı çok katmanlı algılayıcının toplamsal ağırlık kusurları için duyarlılığı üzerinde çalışılmıştır.

Sonuç bölümünde ise yapılan çalışmanın neticeleri tartışılmıştır.

## SUMMARY

This thesis presents an empirical analysis of the effect of various parameters on the error convergence of multilayer feedforward neural networks using the standard backpropagation learning algorithm and a sensitivity of multilayer neural networks for a weight set is calculated using a sensitivity measure.

In section 1; artificial neural network, processing elements and learning process are presented. Backpropagation algorithm which is used for computer programme; and generalized delta rule are explained.

In section 2; effect of various parameters on the error convergence of multilayer feedforward neural networks are examined on xor, parity and Gauss detection problems.

In section 3; a sensitivity caused by additive weight perturbations of a single-output multilayer perceptron with a differentiable activation function for each input pattern is presented.

In conclusion section; results of presented thesis are explained.

## BÖLÜM 1

### YAPAY NÖRON AĞ YAPILARI

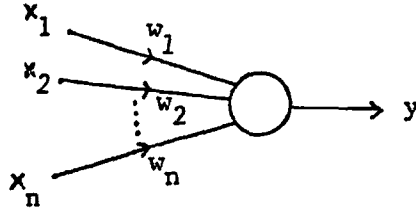
#### 1.1 GİRİŞ:

İnsan beyni, gürültülü bir ortamda ve bozulmuş bilgi ile, görme, konuşma, bilgi düzeltmesi, şekil tanıma gibi işlevleri yerine getirebilir. Beynin işlem elemanları (nöronlar), milisaniyelerde, çağdaş elektronik ürünler ise nanosaniyelerde cevap verme yeteneğine sahiptirler. Bu gelişmeye rağmen, yapay zeka yöntemleri kullanılarak, sözkonusu yeteneklere, bilgisayarlar üzerinde ulaşılamaması, bilim adamlarını insan beynini incelemeye itmiştir.

Bir yapay nöron ağı, insan zekasının bazı fonksiyonlarını modellemek amacıyla, paralel olarak biraraya getirilmiş basit hesap birimleri (nöronlar) dizisidir. Konuşma ve görüntü tanıma alanlarında, insan gibi davranış gösterebilmek için geniş bir işlem yeteneğine ihtiyaç duyulması nedeni ile, yapay nöron ağları konusuna olan ilgi son yıllarda hızla artmıştır. Yapılan çalışmalarla varılan sonuçlara göre; yapay nöron ağlarında kullanılan nöron modeli, nöronları bir ağ yapısında birarada bağlama şekli ve ağırlıkların ayarlanması için kullanılacak öğrenme kuralının belirlenmesi önemlidir. Yapay nöron ağları ile hesaplama konusunda yapılan araştırmalar üç sınıfa girer. Birinci sınıfta, nöron ağının öğrenme özelliklerinin matematiksel tanımı ve analizi yapılır. İkinci sınıfta, bu matematiksel tanımları genişletmek, modellemek için bilgisayar simülasyonları kullanılır. Üçüncü sınıf ise, özel nöron fonksiyonlarını ya da nöron ağ sınıflarını gerçeklemeyi amaçlar.

#### 1.2 YAPAY NÖRON YAPILARI:

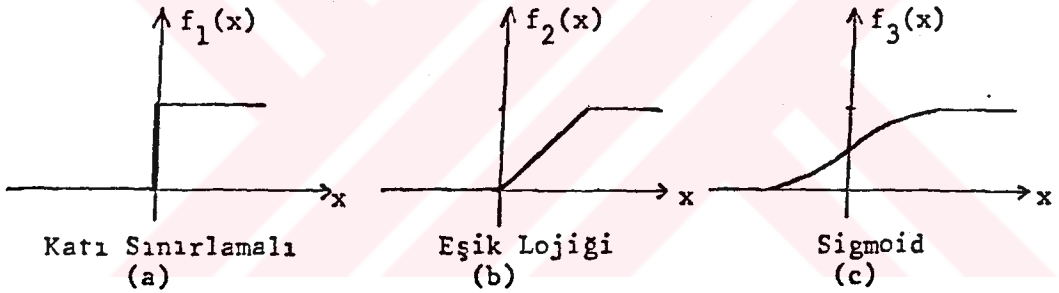
Yapay nöron ağları, basit işlem elemanlarının paralel bir dizisidir. Her işlem elemanının yaptığı temel iş, giriş işaretlerinin bir dönüşümünü almaktır. Bir biyolojik nöronu temsil etmek için Şekil 2.1'deki işlem elemanı kullanılır.



Şekil 1.1 Bir yapay nöron  
Nöron modelinde y çıkışı;

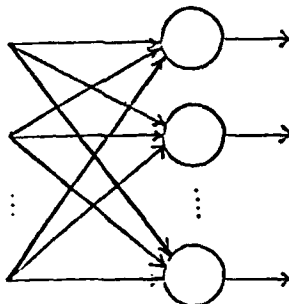
$$y = f\left(\sum_{i=1}^n w_i x_i - \theta\right) \quad [1.1]$$

ile ifade edilir. Burada,  $(i=1,2,\dots,n)$  giriş işaretlerini,  $w_i$   $x_i$  girişine karşı düşen ağırlığı gösterir.  $\theta$  ise eşik değeri olarak adlandırılır.  $f$  bir lineer olmayan fonksiyondur. Şekil 1.2'de  $f$  fonksiyonuna örnek üç tip lineer olmayan fonksiyon gösterilmiştir.



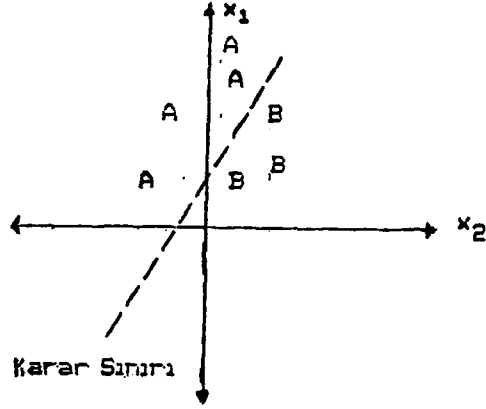
Şekil 1.2 Yapay nöron ağı modellerinde kullanılan üç tip  
lineer olmayan fonksiyon

(1.1) eşitliğinden görüldüğü gibi bir nöron modeli,  $n$  tane ağırlaştırılmış girişi toplamakta, bir eşik değerini bu toplamdan çıkartıp, sonucu bir lineer olmayan fonksiyondan geçirmektedir. Nöron ağlarının temel yapısı Şekil 1.3'deki tek katmanlı yapıdır. Tek katmanlı algılayıcılar sürekli değerli ve ikili girişin her ikisiyle de kullanılabilir.



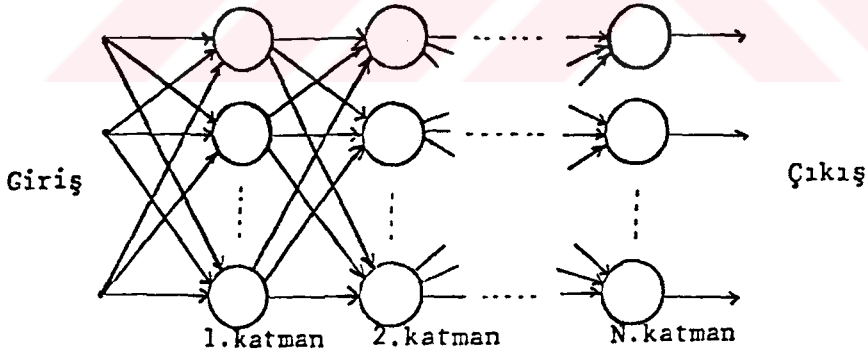
Şekil 1.3 Tek katmanlı ağ

Her algılayıcı bir girişin Şekil 1.4'de gösterilen A ve B ile işaret edilmiş iki sınıftan biriyle ilişkili olduğuna karar verir. Çıkış ya +1 ya da -1 dir. Eğer çıkış +1 ise girişin A sınıfına ait olduğuna, eğer çıkış -1 ise girişin B sınıfına ait olduğuna karar verilir [2].



Şekil 1.4

1960'lerde Widrow, Hoff ve diğerleri tarafından oluşturulan tek katmanlı ağların çeşitli uygulamalarda yeteneklerinin sınırlı kaldığı ispatlanmıştır. Bu nedenle iki ya da daha fazla nöron katmanı kaskat bağlanarak Şekil 2.5'de gösterilen çok katmanlı ağlar oluşturulmuştur [6].















Şekil 1.5 Çok katmanlı ağ

Çok katmanlı ağların çalışması tek katmanlı ağların çalışmasına benzer. Her katmanın çıkışı, önceki katmanın çıkışlarının ağırlıklı toplamından üretilir. Çok katmanlı algılayıcılarda giriş ve çıkış katmanı arasında yer alan katmanlar gizli katman olarak adlandırılır. Çok katmanlı algılayıcılar tek katmanlı algılayıcıların birçoğunun üstesinden gelebilirler. Bir, iki ve üç katmanlı algılayıcıların yetenekleri Şekil 2.6'da tanımlanmıştır [2].

Bu şekildeki ikinci kolon, farklı ağlarla biçimlendirilmiş karar

bölgelerinin tiplerini gösterir. Sonraki iki kolon, xor problemi ve bir ağ yapılı bölge problem için biçimlendirilmiş karar bölgeleri örneklerini gösterir. En sağdaki kolon, en genel biçimlendirilebilir karar bölgeleri örneklerini verir. Bir katman algılayıcı yarıdüzlem karar bölgelerini biçimlendirir. Bir iki katman algılayıcı uzaydaki konveks bölgeleri biçimlendirebilir. Üç katmanlı algılayıcı ise, keyfi kompleks karar bölgelerini düzenleyebilir.

Yapı	Karar bölgesi tipi	Xor problemi	Ağ yapılı	Genel biçimlendirilebilir karar bölge problem
 Tek-katman	Yarı düzlem karar bölgesi			
 İki-katman	Konveks bölge			
 Üç-katman	Keyfi kompleks bölge			

Şekil 1.6

### 1.3 İŞLEM ELEMANLARI

Bir yapay nöron ağı birçok işleme elemanının birarada bağlanmasından oluşmuştur. Her işlem elemanı istenildiği sayıda giriş bağlantısı alabilir. Fakat her işlem elemanında tek bir çıkış bağlantısı olabilir. Bu bağlantı kopya edilebilir.

İşlem elemanının bir yerel belleği vardır. Her elemanın yaptığı işlem transfer fonksiyonu ile belirlenir. Transfer fonksiyonları sürekli ya da kısmen sürekli olabilir. Kısmen sürekli çalışma konumunda 'aktif' halde eleman bir çıkış işareti verir.

Ayrıca nöron ağı bir takım alt kümelere ayrılır. Bu alt kümelereki elemanların transfer fonksiyonları aynıdır. Bu küçük gruplara 'katman' adı verilir. İşlem elemanları kendi aralarında haberleşebilir ve çıkış istenilen bir noktadan alınabilir[9].

#### 1.4 ÖĞRENME

Öğrenme kuralı, giriş işareti ve transfer fonksiyonu ile bulunan değerlere göre ağırlıkların hepsini veya bir kısmını değiştiren bir denklemdir.

Yapay nöron ağları programlama yerine, örnekler ile eğitilir. Eğitim denetimli ve denetimsiz olmak üzere iki şekilde olur. Her ikisinde de , ağ seri denemelerden sonra çalışır. Denetimli öğrenmede, ağa hem giriş, hem de istenen çıkış bilgisi girilir. Her denemeden sonra ağ kendi çıkışını doğru cevaplar ile karşılaştırır ve çıkış hatası yeterince azalıncaya kadar, ağırlıklarını değiştirerek iterasyon yapar. Denetimsiz öğrenmede istenen çıkış yoktur. Giriş vektörü sisteme uygulanır ve sistem eğitimden önce tahmin edilemeyen uygun bir çıkış üretmek için kendisini öz-örgütler.

Her iki eğitimden sonra da, ağ gerçek girişleri işlemek için hazırdır.

#### 1.5 GERİYE YAYILIM ÖĞRENME ALGORİTMASI

Geriye yayılım öğrenme algoritması, Şekil 2.5 de gösterilen çok katmanlı algılayıcıların eğitilmesinde sıkça kullanılan bir algoritmadır.

Herhangi bir katmandaki j.ci birime gelen net giriş, bir önceki katmandaki birimlerin  $y_i$  çıkışlarının ağırlıklı toplamıdır.

$$net_j = \sum_{i=1}^n w_{ji} y_i \quad [1.2]$$

İşlem elemanı, bu toplam girişi, türevi alınabilir, sürekli ve lineer olmayan bir fonksiyondan geçirir. Bu nedenle en çok kullanılan fonksiyon, sigmoid fonksiyonudur.

$$y = \frac{1}{1+e^{-(net_j)}} \quad [1.3]$$

Bu fonksiyon  $y$  çıkışı Şekil 2.2c'de görüldüğü gibi 0 ve 1 değerleri arasında sınırlar. Geriye yayılım öğrenme algoritmasında girişe uygulanan bir giriş vektörüne karşı bir çıkış vektörü elde edilir. Bu çıkış vektörü, sisteme daha önceden verilen bir 'hedef' vektörü ile karşılaştırılır. Bu iki vektör arasındaki yeterince küçük olacak şekilde ağırlıklar ayarlanır.

Eğitime iki adımda olur. Birinci adımda, ağa bir giriş vektörü uygulanır ve her işlem elemanının çıkışı hesaplanır. Elde edilen çıkışlar bir sonraki denemede ağırlıkların ayarlanmasında kullanılmak üzere saklanır. İkinci adımda, çıkış ve hedef vektörü arasındaki farka göre hesaplanan çıkış hatası geriye doğru iletilir. Ağ ağırlıkları bu hataya göre ayarlanır. Bu işlem, yeterince doğru cevaplar alınıncaya kadar tekrar edilir [6].

#### 1.6 GENELLEŞTİRİLMİŞ DELTA KURALI

Nöron ağı öğrenme işlemini ağırlıkları değiştirerek yapar. 'p' giriş paterni için ağırlıklardaki değişim

$$\Delta w_{ji} = \eta (t_{pj} - o_{pj}) i - \eta \delta_{pj} i_{pi} \quad [1.4]$$

ile verilir.

Burada,  $t_{pj}$  p paterni için hedef çıkışın j. bileşenini,  $o_{pj}$  p paterni için aktif çıkışın j. bileşenini,  $i_{pi}$  p giriş paterninin i. elemanının değerini gösterir. Geriye yayılım algoritmasında kullanılan hata kriteri karesel ortalama hatadır. Buna göre p paterni için oluşan hata,

$$E_p = \frac{1}{2} \sum_j (t_{pj} - o_{pj})^2 \quad [1.5]$$

ve tüm paternler için toplam hata,

$$E = \sum_p E_p \quad [1.6]$$

dir.

Sistemde ağırlık değişimi, oluşan hataya göre yapıldığı için '  $E_p / w_{ji}$  ' ifadesini incelemeliyiz. Bu inceleme ağırlık gizli katmana sahip olup olmamasına bağlı olarak değişik sonuç verir.  
A- Nöron ağırlıkta gizli katman yoksa, zincir kuralına göre

$$\frac{\partial E_p}{\partial w_{ji}} = \frac{\partial E_p}{\partial O_{pj}} \frac{\partial O_{pj}}{\partial w_{ji}} \quad [1.7]$$

dir.

$$O_{pj} = \sum_i w_{ji} i_{pi} \quad [1.8]$$

olduğundan

$$\frac{\partial O_{pj}}{\partial w_{ji}} = i_{pi} \quad [1.9]$$

olur.

[1.5] eşitliğinden

$$\frac{\partial E_p}{\partial O_{pj}} = -\delta_{pj} \quad [1.10]$$

dir.

Sonuç olarak,

$$\frac{\partial E_p}{\partial w_{ji}} = -\delta_{pj} i_{pi} \quad [1.11]$$

B- Nöron ağırlıkta gizli katman varsa, zincir kuralına göre

$$\frac{\partial E_p}{\partial w_{ji}} = \frac{\partial E_p}{\partial net_{pj}} \frac{\partial net_{pj}}{\partial w_{ji}} \quad [1.12]$$

dir.

$$net_{pj} = \sum_i w_{ji} O_{pi} \quad [1.13]$$

olduğundan

$$\frac{\partial net_{pj}}{\partial w_{ji}} = O_{pi} \quad [1.14]$$

olur.

$$O_{pj} = f_j(net_{pj}) \quad [1.15]$$

ve

$$\delta_{pj} = \frac{-\partial E_p}{\partial net_{pj}} \quad [1.16]$$

olmak üzere

a-  $O_{pj}$  yapay nöron ağı çıkışı ise

$$\delta_{pj} = (t_{pj} - O_{pj}) f'(net_{pj}) \quad [1.17]$$

olur.

b-  $O_{pj}$  gizli katman çıkışı ise

$$\delta_{pj} = f'(net_{pj}) \sum_k \delta_{pk} w_{pk} \quad [1.18]$$

olur.

Geriyeye yayılım algoritmasında öğrenme, yani ağırlık değişimi

$\Delta w_{pj} = \eta \delta_{pj} O_{pi}$  ile orantılı olarak yapılır. Orantı sabiti  $\eta$ ; öğrenme oranıdır. Genellikle 0 ile 1 arasında seçilir. Bu sabit ne kadar büyük ise ağırlıktaki değişime o kadar büyüktür. Pratikte osilasyona yol açmayacak büyüklükte öğrenme oranı seçilir. Öğrenme oranının daha

büyük değerlerine imkan sağlayarak hata yakınsamasını hızlandırmak için; genelleştirilmiş delta kuralı, momentum terimi ile modifiye edilir [1,8].

$$\Delta w_{ji}(t+1) = \eta \delta_{pj} O_p + \alpha \Delta w_{ji}(t) \quad [1.19]$$

Geriye yayılım öğrenme algoritması Tablo 1.1'de gösterilmiştir.

Geriye yayılım algoritmasının bazı temel sorunları vardır. Bu sorunlar eğitimin yavaş olması, algoritmanın yerel minimuma yakalanabilmesi, otonom olmamasıdır.

Geriye yayılım algoritmasında eğitim yavaştır. Ardarda iki katmandaki n tane nöron için, n tane ağırlık eğitilmektedir. Hatanın geriye yayılımı da bu ağırlıklar üzerinden yapılır. Bu işlemler oldukça zaman alır.

Hatayı minimum yapacak ağ ağırlıkları, bir gradyent arama tekniği kullanılarak bulunur. Eğitim sırasında yerel minimuma yakalanma sorunu vardır. Bu durumda ağ kabul edilemeyecek bir çözüme yakınsar. Bu sorundan kaçınmak için öğrenme oranı azaltılabilir.

Ağa yeni bilgiler öğretildiğinde eskiden öğrenilen bilgilerin unutulması nedeniyle; ağ,değişen çevre şartlarına uyum sağlanmasının beklendiği durumlar için uygun değildir.

TABLO 1.1

GERİYE YAYILIM AĞININ EĞİTME ALGORİTMASI

- ADIM 1 Tüm ağırlıkların ilk değerlerini belirle.  
Tüm ağırlıkları küçük raslantısal değerlere ayarla.
- ADIM 2 Girişi ve istenen çıkışı uygula.  
Sürekli değerli bir  $x = [x_1 \ x_2 \ \dots \ x_n]^T$  giriş vektörünü uygula ve istenen  $d = [d_1 \ d_2 \ \dots \ d_n]^T$  çıkış vektörünü belirle. Her denemede yeni bir giriş uygulanır veya ağırlıklar kararlı oluncaya dek bir eğitime kümesinden örnekler tekrar uygulanabilir.
- ADIM 3 Gerçek çıkışları hesapla.  
En son katmandaki birimlerin çıkışlarını belirleyebilmek için her katmandaki birimlerin çıkışlarını sırayla belirle ve sakla.
- ADIM 4 Ağırlıkları ayarla.  
Çıkış katmanındaki birimlerden ilk katmandaki birimlere kadar, geriye doğru çalışan bir yinelemeli algoritma kullanılacaktır. Ağırlıklar [1.19] eşitliğine göre ayarlanır.
- ADIM 5 Adım 2'ye giderek tekrar et.

## BÖLÜM 2

### ÇOK KATMANLI ALGILAYICININ PARAMETRELERİNİN OPTİMİZASYONU

Bu bölümde xor, parite ve gauss deteksiyon problemleri üzerinde, çok katmanlı algılayıcının hata yakınsamasında öğrenme oranı, momentum katsayısı ve gizli katmandaki düğüm sayısının etkileri incelenmiştir[5].

Xor ve parite problemlerinde kullanılan nöron ağı bir gizli katmana, gauss probleminde kullanılan ağ ise iki gizli katmana sahiptir.

Xor problemi için iki giriş düğümü, iki gizli düğüm, bir çıkış düğümü; üç bit parite problemi için üç giriş düğümü, üç gizli düğüm, bir çıkış düğümü; dört bit parite problemi için dört giriş düğümü, dört gizli düğüm ve bir çıkış düğümü kullanıldı. Parite problemlerinde giriş paternlerindeki birlerin sayısı tek ise sonuç 1, çift ise sonuç 0'dır.

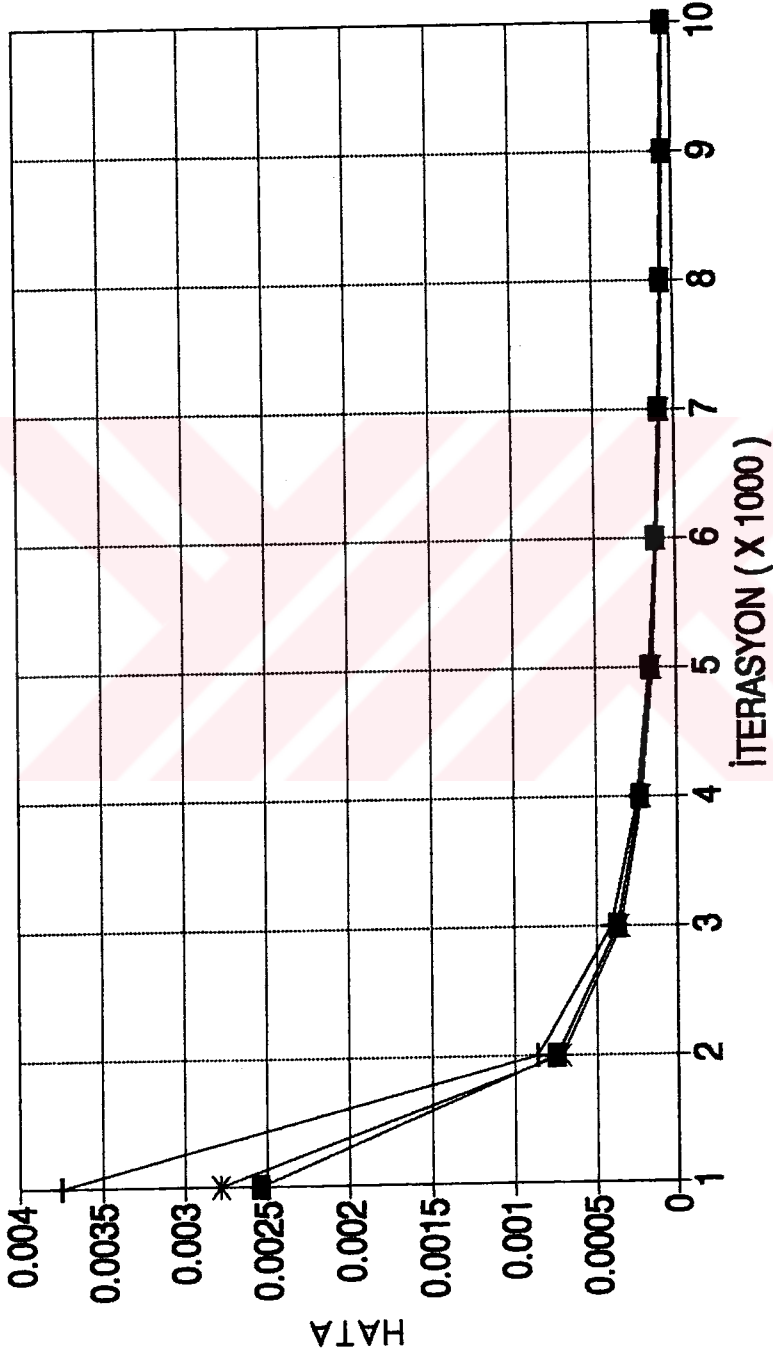
Gauss deteksiyon probleminde kullanılan nöron ağında giriş ve çıkış düğüm sayısı bir, gizli düğüm sayısı ikidir. Bu problemde ağ, tek boyutlu -1 ve 2 beklendik değerli iki gauss dağılımı arasındaki farka göre eğitildi. Her iki gauss dağılımı için varyans 1'e eşittir. Deteksiyon için eşik değeri 0.5'dir. Giriş değerleri -1 ve 2 ortalama değerli gauss sayı üreticiden rasgele üretilmektedir. Üretilen sayı 0.5'den büyük ise 1, küçük ise 0 sonucu alınmaktadır [4].

#### 2.1 ÖĞRENME ORANI

Geriye yayılım algoritmasında öğrenme oranı önemli bir parametredir. Öğrenme oranının farklı değerleri için hata değerleri hesaplanmıştır. Deneylerde momentum katsayısı 0.9 alınmıştır. Gizli katmandaki düğüm sayısı xor ve gauss deteksiyon problemi için iki, üç bit parite problemi için üç, dört bit parite problemi için dört alınmıştır. Elde edilen sonuçlara göre öğrenme oranının büyümesi hata yakınsamasını (küçülmesini) geciktirmektedir. Çünkü öğrenme oranı büyüdüğü takdirde ağırlık uzayında minimum nokta civarında osilasyon oluşur.

# XOR PROBLEMİ İÇİN ÖĞRENME HATASI

alpha = 0.9 g. düğüm sayısı = 2



■ epsilon = 0.2 + epsilon = 2 \* epsilon = 4

epsilon = 0.2  
alpha = 0.9  
gizli düğüm sayısı = 2

	giriş		cıkış	hedef değer
0	0.100	0.100	0.105	0.100
1	0.100	0.900	0.896	0.900
2	0.900	0.100	0.896	0.900
3	0.900	0.900	0.105	0.100
iterasyon=10000	eps= 0.003386		hata_1= 0.000046 hata_t= 0.000046	

epsilon = 2  
alpha = 0.9  
gizli düğüm sayısı = 2

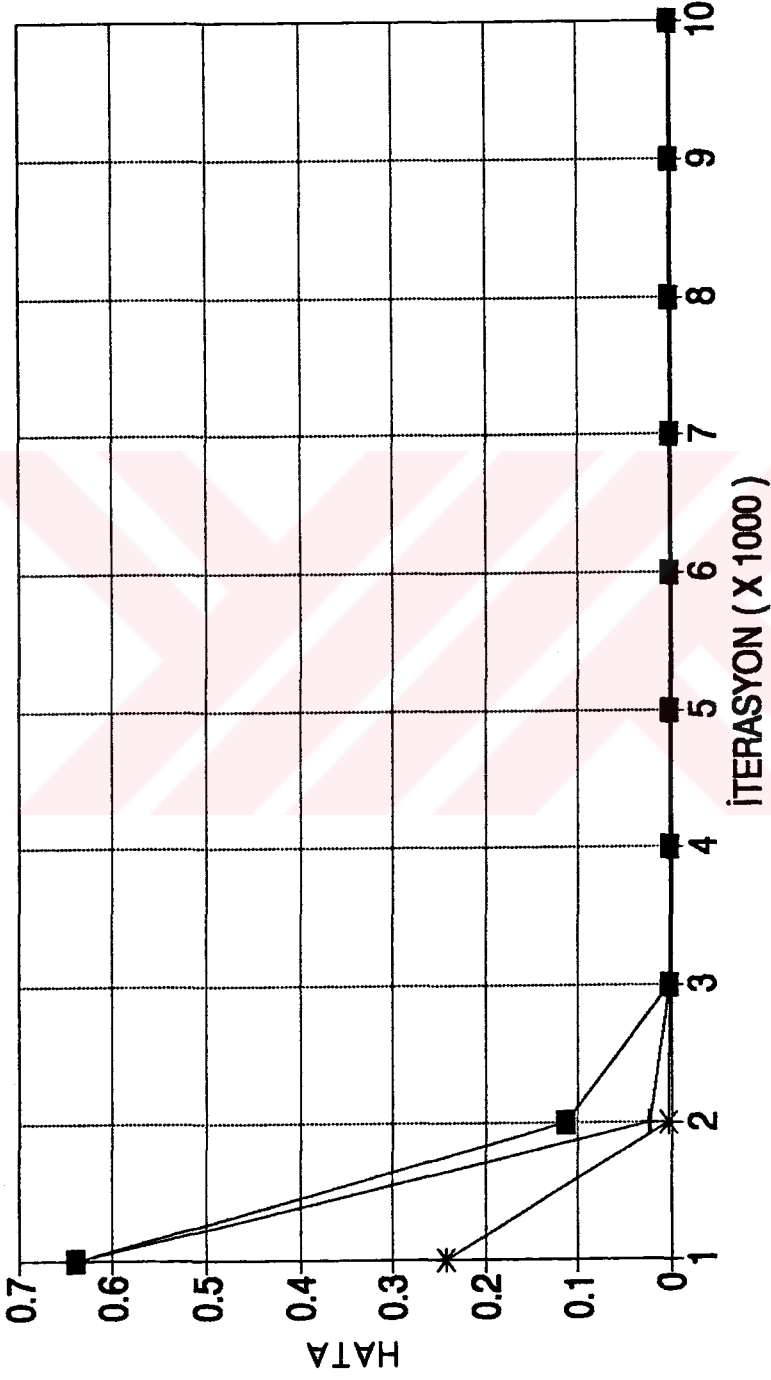
	giriş		cıkış	hedef değer
0	0.100	0.100	0.104	0.100
1	0.100	0.900	0.895	0.900
2	0.900	0.100	0.895	0.900
3	0.900	0.900	0.106	0.100
iterasyon=10000	eps= 0.003420		hata_1= 0.000047 hata_t= 0.000047	

epsilon = 4  
alpha = 0.9  
gizli düğüm sayısı = 2

	giriş		cıkış	hedef değer
0	0.100	0.100	0.105	0.100
1	0.100	0.900	0.897	0.900
2	0.900	0.100	0.893	0.900
3	0.900	0.900	0.103	0.100
iterasyon=10000	eps= 0.003267		hata_1= 0.000043 hata_t= 0.000043	

### 3 BİT PARİTE PROBLEMİ İÇİN ÖĞR. HATASI

alpha = 0.9 g. düğüm sayısı = 3



■ epsilon = 0.2    + epsilon = 2    \* epsilon = 4

epsilon = 0.2  
alpha = 0.9  
gizli düğüm sayısı = 3

	giriş			cıkış	hedef değer
0	0.100	0.100	0.100	0.104	0.100
1	0.100	0.100	0.900	0.896	0.900
2	0.100	0.900	0.100	0.900	0.900
3	0.100	0.900	0.900	0.099	0.100
4	0.900	0.100	0.100	0.896	0.900
5	0.900	0.100	0.900	0.109	0.100
6	0.900	0.900	0.100	0.099	0.100
7	0.900	0.900	0.900	0.900	0.900

iterasyon=10000 eps= 0.004133 hata\_1= 0.000068  
hata\_t= 0.000068

epsilon = 2  
alpha = 0.9  
gizli düğüm sayısı = 3

	giriş			cıkış	hedef değer
0	0.100	0.100	0.100	0.104	0.100
1	0.100	0.100	0.900	0.896	0.900
2	0.100	0.900	0.100	0.900	0.900
3	0.100	0.900	0.900	0.099	0.100
4	0.900	0.100	0.100	0.896	0.900
5	0.900	0.100	0.900	0.109	0.100
6	0.900	0.900	0.100	0.099	0.100
7	0.900	0.900	0.900	0.900	0.900

iterasyon=10000 eps= 0.004088 hata\_1= 0.000067  
hata\_t= 0.000067

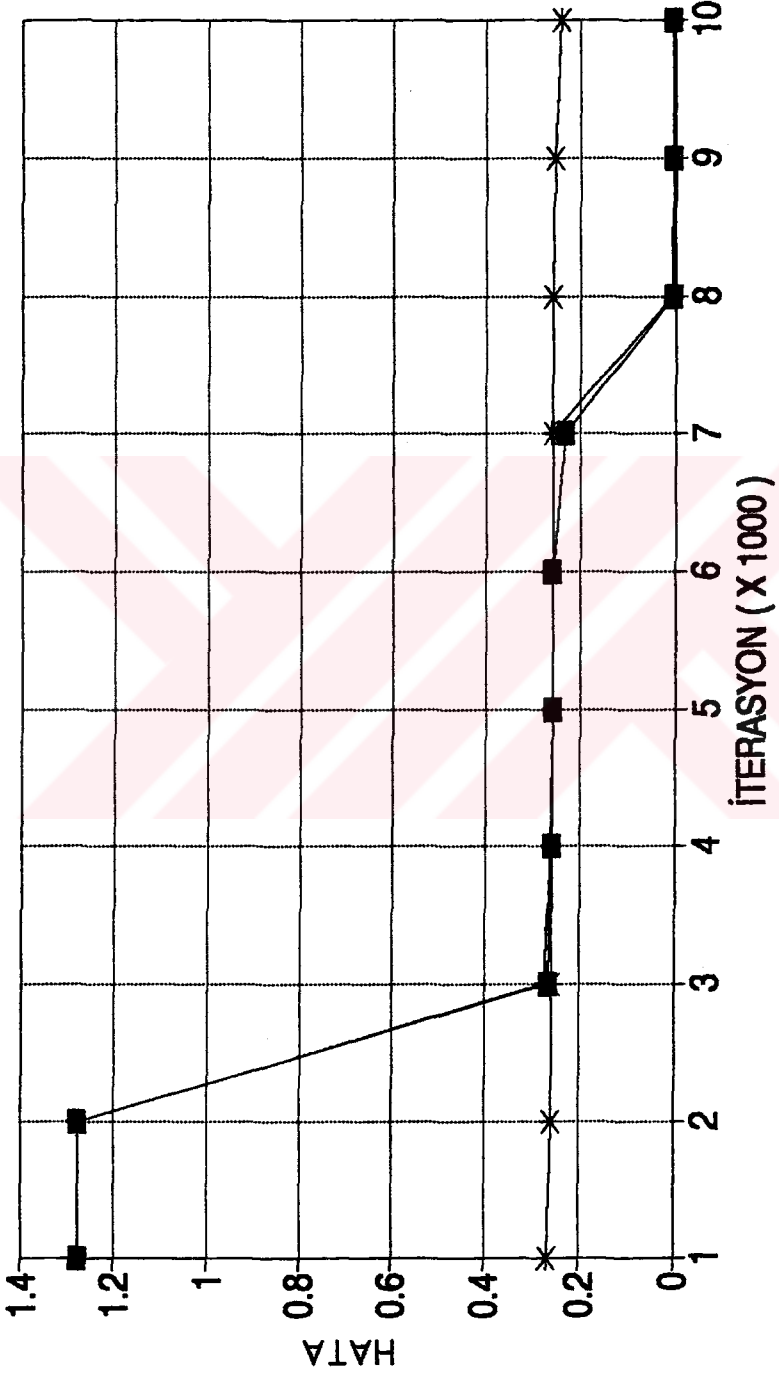
epsilon = 4  
alpha = 0.9  
gizli düğüm sayısı = 3

	giriş			cıkış	hedef değer
0	0.100	0.100	0.100	0.100	0.100
1	0.100	0.100	0.900	0.899	0.900
2	0.100	0.900	0.100	0.899	0.900
3	0.100	0.900	0.900	0.103	0.100
4	0.900	0.100	0.100	0.899	0.900
5	0.900	0.100	0.900	0.103	0.100
6	0.900	0.900	0.100	0.103	0.100
7	0.900	0.900	0.900	0.890	0.900

iterasyon=10000 eps= 0.004120 hata\_1= 0.000068  
hata\_t= 0.000068

### 4 BİT PARİTE PROBLEMİ İÇİN ÖĞR. HATASI

alpha = 0.9 g. düğüm sayısı = 4



■ epsilon = 0.2    \* epsilon = 4

epsilon = 0.2  
alpha = 0.9  
gizli düğüm sayısı = 4

	giriş				cıkış	hedef değer
0	0.100	0.100	0.100	0.100	0.101	0.100
1	0.100	0.100	0.100	0.900	0.900	0.900
2	0.100	0.100	0.900	0.100	0.900	0.900
3	0.100	0.100	0.900	0.900	0.100	0.100
4	0.100	0.900	0.100	0.100	0.900	0.900
5	0.100	0.900	0.100	0.900	0.100	0.100
6	0.100	0.900	0.900	0.100	0.100	0.100
7	0.100	0.900	0.900	0.900	0.894	0.900
8	0.900	0.100	0.100	0.100	0.900	0.900
9	0.900	0.100	0.100	0.900	0.100	0.100
10	0.900	0.100	0.900	0.100	0.100	0.100
11	0.900	0.100	0.900	0.900	0.894	0.900
12	0.900	0.900	0.100	0.100	0.100	0.100
13	0.900	0.900	0.100	0.900	0.894	0.900
14	0.900	0.900	0.900	0.100	0.894	0.900
15	0.900	0.900	0.900	0.900	0.126	0.100

iterasyon=10000    eps= 0.010283    hata\_1= 0.000423    hata\_t= 0.000422

epsilon = 2  
alpha = 0.9  
gizli düğüm sayısı = 4

	giriş				cıkış	hedef değer
0	0.100	0.100	0.100	0.100	0.101	0.100
1	0.100	0.100	0.100	0.900	0.900	0.900
2	0.100	0.100	0.900	0.100	0.900	0.900
3	0.100	0.100	0.900	0.900	0.100	0.100
4	0.100	0.900	0.100	0.100	0.900	0.900
5	0.100	0.900	0.100	0.900	0.100	0.100
6	0.100	0.900	0.900	0.100	0.100	0.100
7	0.100	0.900	0.900	0.900	0.893	0.900
8	0.900	0.100	0.100	0.100	0.900	0.900
9	0.900	0.100	0.100	0.900	0.100	0.100
10	0.900	0.100	0.900	0.100	0.100	0.100
11	0.900	0.100	0.900	0.900	0.893	0.900
12	0.900	0.900	0.100	0.100	0.100	0.100
13	0.900	0.900	0.100	0.900	0.893	0.900
14	0.900	0.900	0.900	0.100	0.893	0.900
15	0.900	0.900	0.900	0.900	0.128	0.100

iterasyon=10000    eps= 0.011184    hata\_1= 0.000500    hata\_t= 0.000499

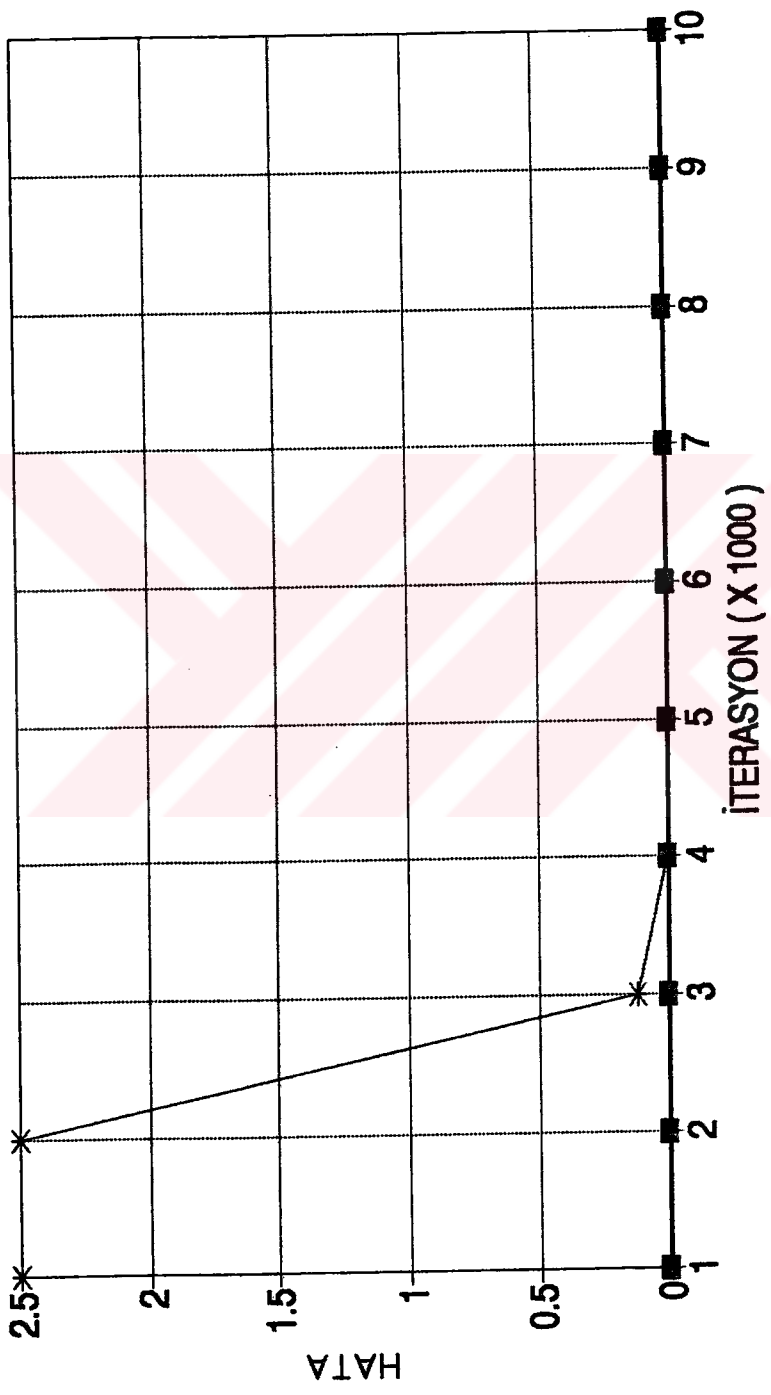
epsilon = 4  
alpha = 0.9  
gizli düğüm sayısı = 4

	giriş				cıkış	hedef değer
0	0.100	0.100	0.100	0.100	0.077	0.100
1	0.100	0.100	0.100	0.900	0.896	0.900
2	0.100	0.100	0.900	0.100	0.910	0.900
3	0.100	0.100	0.900	0.900	0.295	0.100
4	0.100	0.900	0.100	0.100	0.897	0.900
5	0.100	0.900	0.100	0.900	0.154	0.100
6	0.100	0.900	0.900	0.100	0.294	0.100
7	0.100	0.900	0.900	0.900	0.297	0.900
8	0.900	0.100	0.100	0.100	0.904	0.900
9	0.900	0.100	0.100	0.900	0.083	0.100
10	0.900	0.100	0.900	0.100	0.142	0.100
11	0.900	0.100	0.900	0.900	0.896	0.900
12	0.900	0.900	0.100	0.100	0.080	0.100
13	0.900	0.900	0.100	0.900	0.912	0.900
14	0.900	0.900	0.900	0.100	0.895	0.900
15	0.900	0.900	0.900	0.900	0.299	0.100

iterasyon=10000      eps= 0.249395      hata\_1= 0.248792      hata\_t= 0.242525

# GAUSS PROBLEMİ İÇİN ÖĞRENME HATASI

alpha = 0.9 g. düğüm sayısı = 2



■ epsilon = 0.2    \* epsilon = 4

epsilon = 0.2  
alpha = 0.9  
gizli düğüm sayısı = 2

	giriş	çıkış	hedef değer
0	0.005	0.020	0.000
1	-0.71	0.007	0.000
2	-0.24	0.009	0.000
3	-1.27	0.007	0.000
4	-1.86	0.007	0.000
5	1.009	0.995	1.000
6	2.389	0.995	1.000
7	0.532	0.983	1.000
8	1.602	0.995	1.000
9	3.574	0.995	1.000

iterasyon=10000 eps= 0.011353

hata\_1= 0.000516  
hata\_t= 0.000516

epsilon = 2  
alpha = 0.9  
gizli düğüm sayısı = 2

	giriş	çıkış	hedef değer
0	-1.25	0.008	0.000
1	-0.70	0.010	0.000
2	-1.61	0.007	0.000
3	-1.09	0.008	0.000
4	-0.95	0.008	0.000
5	1.282	0.988	1.000
6	2.603	0.989	1.000
7	3.973	0.989	1.000
8	2.968	0.989	1.000
9	1.555	0.988	1.000

iterasyon=10000 eps= 0.011051

hata\_1= 0.000489  
hata\_t= 0.000489

epsilon = 4  
alpha = 0.9  
gizli düğüm sayısı = 2

	giriş	çıkış	hedef deger
0	0.432	0.020	0.000
1	-1.86	0.002	0.000
2	-0.22	0.002	0.000
3	-0.79	0.002	0.000
4	-1.81	0.002	0.000
5	2.121	0.993	1.000
6	1.218	0.990	1.000
7	2.543	0.993	1.000
8	2.096	0.993	1.000
9	0.983	0.977	1.000

iterasyon=10000

eps= 0.012296

hata\_1= 0.000605

hata\_t= 0.000605



## 2.2 MOMENTUM KATSAYISI

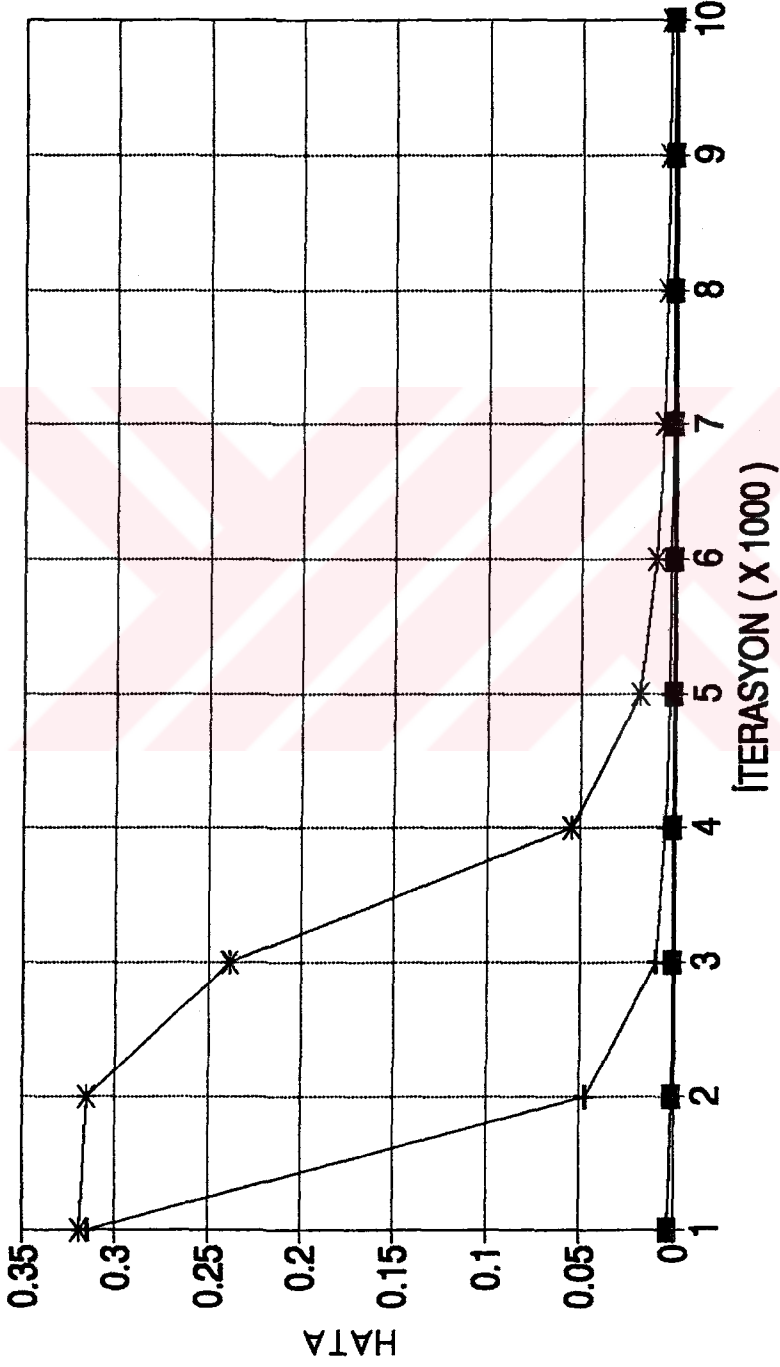
öğrenme oranının büyük değerleri için hata yakınsamasını hızlandırmak açısından momentum terimi oldukça önemlidir. Momentum terimi önceki iterasyonda elde edilen ağırlık değişiminin o andaki ağırlık değişimine etkisini gösterir.

Simülasyon sonuçlarına göre momentum katsayısı küçüldükçe hata değeri büyümektedir. Bunun nedeni, momentum katsayısı küçük olduğunda bir önceki ağırlık değişiminin bir sonraki ağırlık değişimine etkisinin az olmasıdır. Analizde momentum katsayısı değiştirilirken, öğrenme oranı 0.2 alınmıştır.

Gizli katmandaki düğüm sayısı xor ve gauss problemleri için iki, üç bit parite problemi için üç, dört bit parite problemi için dördür.

## XOR PROBLEMİ İÇİN ÖĞRENME HATASI

epsilon = 0.2 g. düğüm sayısı = 2



■ alpha = 0.9    + alpha = 0.5    \* alpha = 0

epsilon = 0.2  
alpha = 0.5  
gizli düğüm sayısı = 2

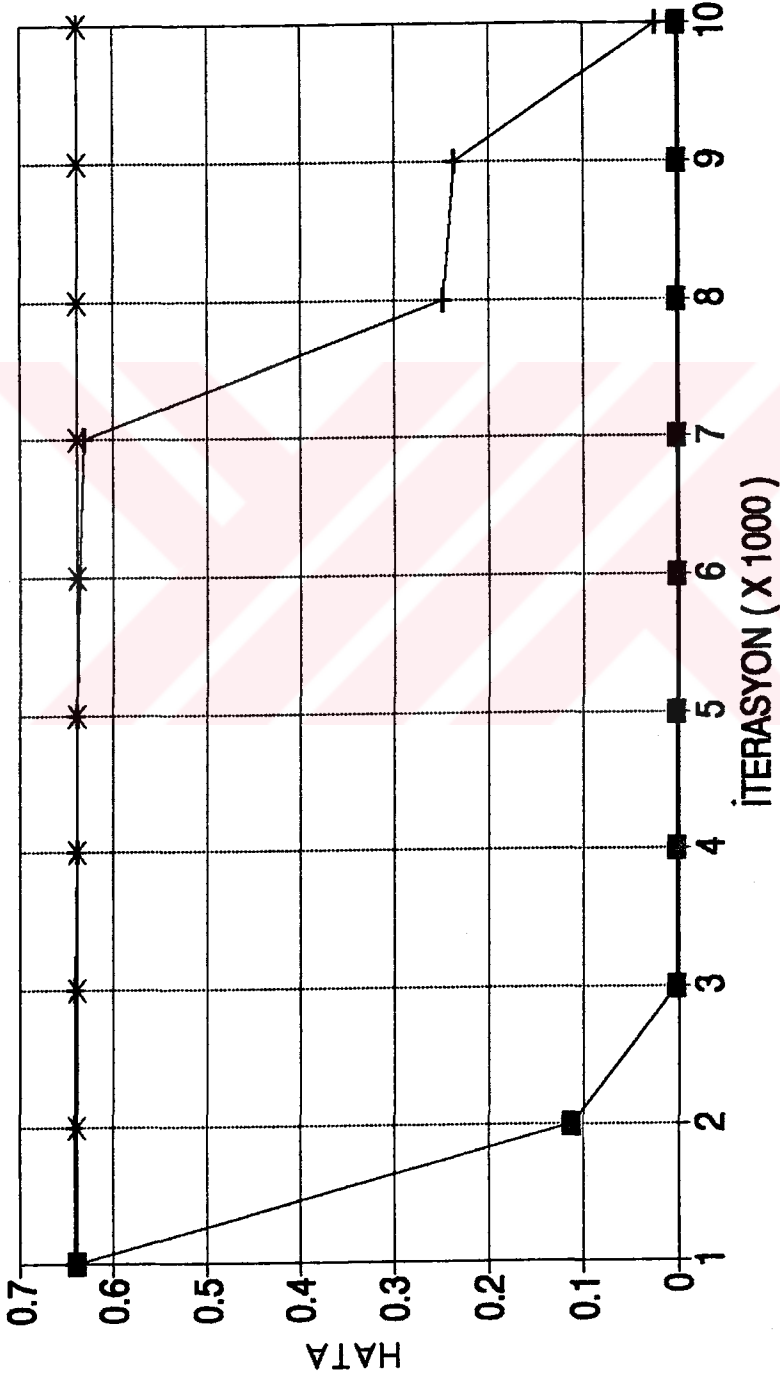
	giriş		cıkış	hedef değer
0	0.100	0.100	0.119	0.100
1	0.100	0.900	0.881	0.900
2	0.900	0.100	0.881	0.900
3	0.900	0.900	0.122	0.100
iterasyon=10000	eps= 0.013890		hata_1= 0.000772	hata_t= 0.000771

epsilon = 0.2  
alpha = 0  
gizli düğüm sayısı = 2

	giriş		cıkış	hedef değer
0	0.100	0.100	0.135	0.100
1	0.100	0.900	0.864	0.900
2	0.900	0.100	0.864	0.900
3	0.900	0.900	0.143	0.100
iterasyon=10000	eps= 0.026794		hata_1= 0.002872	hata_t= 0.002867

### 3 BİT PARİTE PROBLEMİ İÇİN ÖĞR. HATASI

epsilon = 0.2 g. düğüm sayısı = 3



■ alpha = 0.9    + alpha = 0.5    \* alpha = 0

epsilon = 0.2  
alpha = 0.5  
gizli düğüm sayısı = 3

	giriş			çıkış	hedef değer
0	0.100	0.100	0.100	0.136	0.100
1	0.100	0.100	0.900	0.810	0.900
2	0.100	0.900	0.100	0.898	0.900
3	0.100	0.900	0.900	0.105	0.100
4	0.900	0.100	0.100	0.809	0.900
5	0.900	0.100	0.900	0.268	0.100
6	0.900	0.900	0.100	0.103	0.100
7	0.900	0.900	0.900	0.868	0.900

iterasyon=10000 eps= 0.077100 hata\_1= 0.023778  
hata\_t= 0.023501

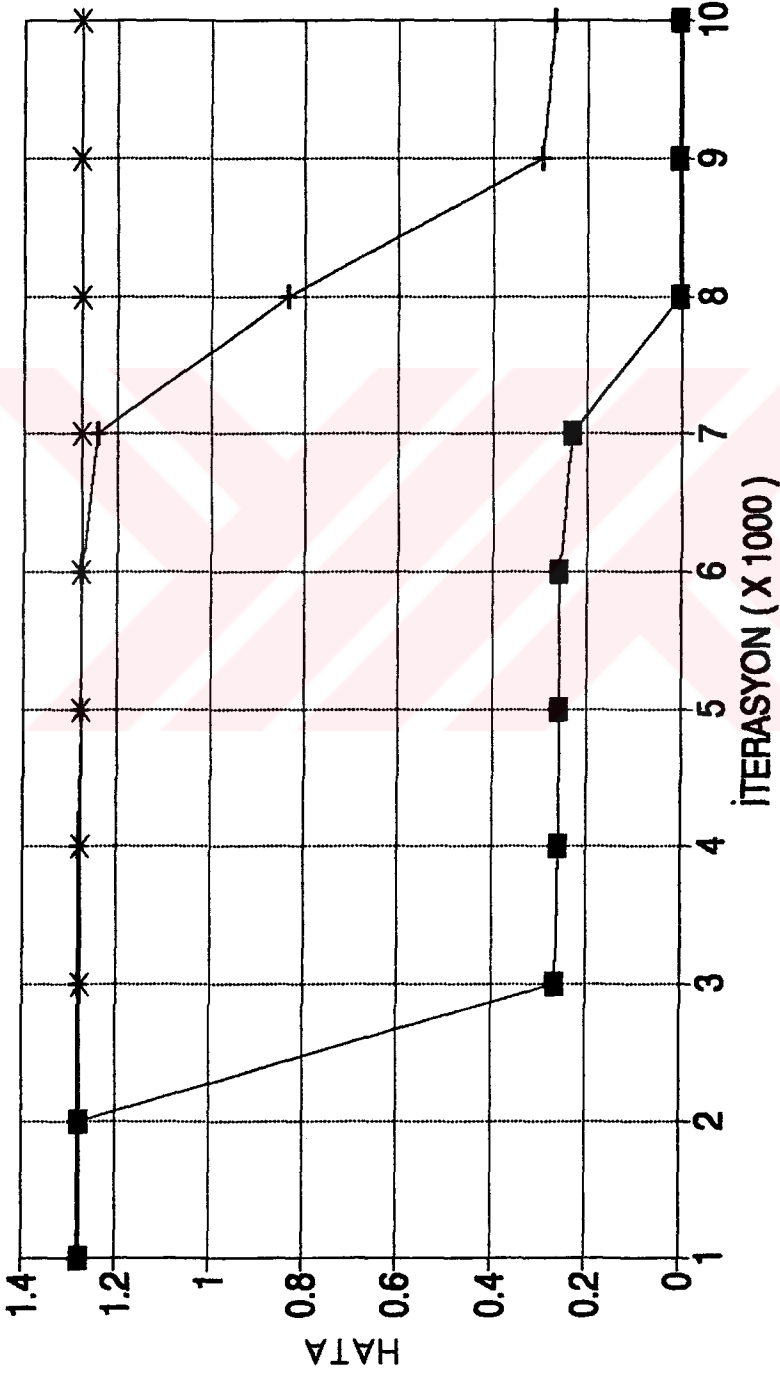
epsilon = 0.2  
alpha = 0  
gizli düğüm sayısı = 3

	giriş			çıkış	hedef değer
0	0.100	0.100	0.100	0.500	0.100
1	0.100	0.100	0.900	0.500	0.900
2	0.100	0.900	0.100	0.501	0.900
3	0.100	0.900	0.900	0.501	0.100
4	0.900	0.100	0.100	0.499	0.900
5	0.900	0.100	0.900	0.499	0.100
6	0.900	0.900	0.100	0.500	0.100
7	0.900	0.900	0.900	0.500	0.900

iterasyon=10000 eps= 0.405184 hata\_1= 0.656695  
hata\_t= 0.639970

### 4 BİT PARİTE PROBLEMİ İÇİN ÖĞR. HATASI

epsilon = 0.2 g. düğüm sayısı = 4



■ alpha = 0.9    + alpha = 0.5    \* alpha = 0

epsilon = 0.2  
alpha = 0.5  
gizli düğüm sayısı = 4

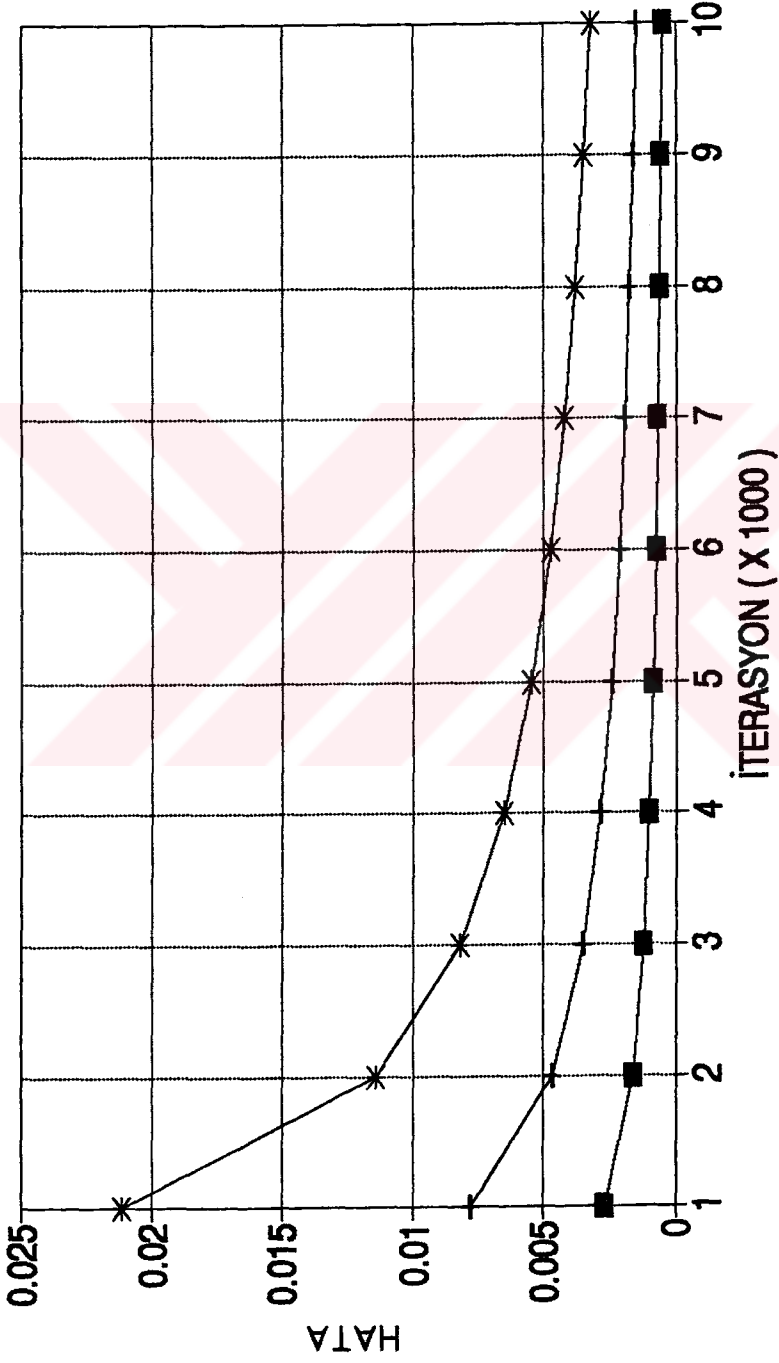
	giriş				cıkış	hedef değer
0	0.100	0.100	0.100	0.100	0.102	0.100
1	0.100	0.100	0.100	0.900	0.897	0.900
2	0.100	0.100	0.900	0.100	0.897	0.900
3	0.100	0.100	0.900	0.900	0.118	0.100
4	0.100	0.900	0.100	0.100	0.898	0.900
5	0.100	0.900	0.100	0.900	0.118	0.100
6	0.100	0.900	0.900	0.100	0.118	0.100
7	0.100	0.900	0.900	0.900	0.738	0.900
8	0.900	0.100	0.100	0.100	0.897	0.900
9	0.900	0.100	0.100	0.900	0.116	0.100
10	0.900	0.100	0.900	0.100	0.117	0.100
11	0.900	0.100	0.900	0.900	0.738	0.900
12	0.900	0.900	0.100	0.100	0.116	0.100
13	0.900	0.900	0.100	0.900	0.738	0.900
14	0.900	0.900	0.900	0.100	0.737	0.900
15	0.900	0.900	0.900	0.900	0.759	0.100
iterasyon=10000		eps= 0.261970		hata_1= 0.274513		hata_t= 0.270830

epsilon = 0.2  
alpha = 0  
gizli düğüm sayısı = 4

	giriş				cıkış	hedef değer
0	0.100	0.100	0.100	0.100	0.495	0.100
1	0.100	0.100	0.100	0.900	0.499	0.900
2	0.100	0.100	0.900	0.100	0.498	0.900
3	0.100	0.100	0.900	0.900	0.500	0.100
4	0.100	0.900	0.100	0.100	0.498	0.900
5	0.100	0.900	0.100	0.900	0.500	0.100
6	0.100	0.900	0.900	0.100	0.500	0.100
7	0.100	0.900	0.900	0.900	0.501	0.900
8	0.900	0.100	0.100	0.100	0.499	0.900
9	0.900	0.100	0.100	0.900	0.500	0.100
10	0.900	0.100	0.900	0.100	0.500	0.100
11	0.900	0.100	0.900	0.900	0.501	0.900
12	0.900	0.900	0.100	0.100	0.501	0.100
13	0.900	0.900	0.100	0.900	0.501	0.900
14	0.900	0.900	0.900	0.100	0.501	0.900
15	0.900	0.900	0.900	0.900	0.502	0.100
iterasyon=10000		eps= 0.575970		hata_1= 1.326965		hata_t= 1.279833

# GAUSS PROBLEMİ İÇİN ÖĞRENME HATASI

epsilon = 0.2 g. düğüm sayısı = 2



■ alpha = 0.9    + alpha = 0.5    \* alpha = 0

epsilon = 0.2  
alpha = 0.5  
gizli düğüm sayısı = 2

	giriş	çıkış	hedef değer
0	0.799	0.980	1.000
1	-2.64	0.017	0.000
2	-0.73	0.023	0.000
3	-1.83	0.017	0.000
4	-1.03	0.019	0.000
5	1.432	0.987	1.000
6	1.992	0.987	1.000
7	1.729	0.987	1.000
8	-0.88	0.020	0.000
9	2.284	0.987	1.000

iterasyon=10000      eps= 0.019321      hata\_1= 0.001493  
hata\_t= 0.001493

epsilon = 0.2  
alpha = 0  
gizli düğüm sayısı = 2

	giriş	çıkış	hedef değer
0	0.555	0.966	1.000
1	-3.21	0.017	0.000
2	0.160	0.054	0.000
3	0.584	0.973	1.000
4	-1.10	0.017	0.000
5	0.611	0.978	1.000
6	-0.25	0.019	0.000
7	3.145	0.991	1.000
8	2.339	0.991	1.000
9	4.857	0.991	1.000

iterasyon=10000      eps= 0.028363      hata\_1= 0.003218  
hata\_t= 0.003217

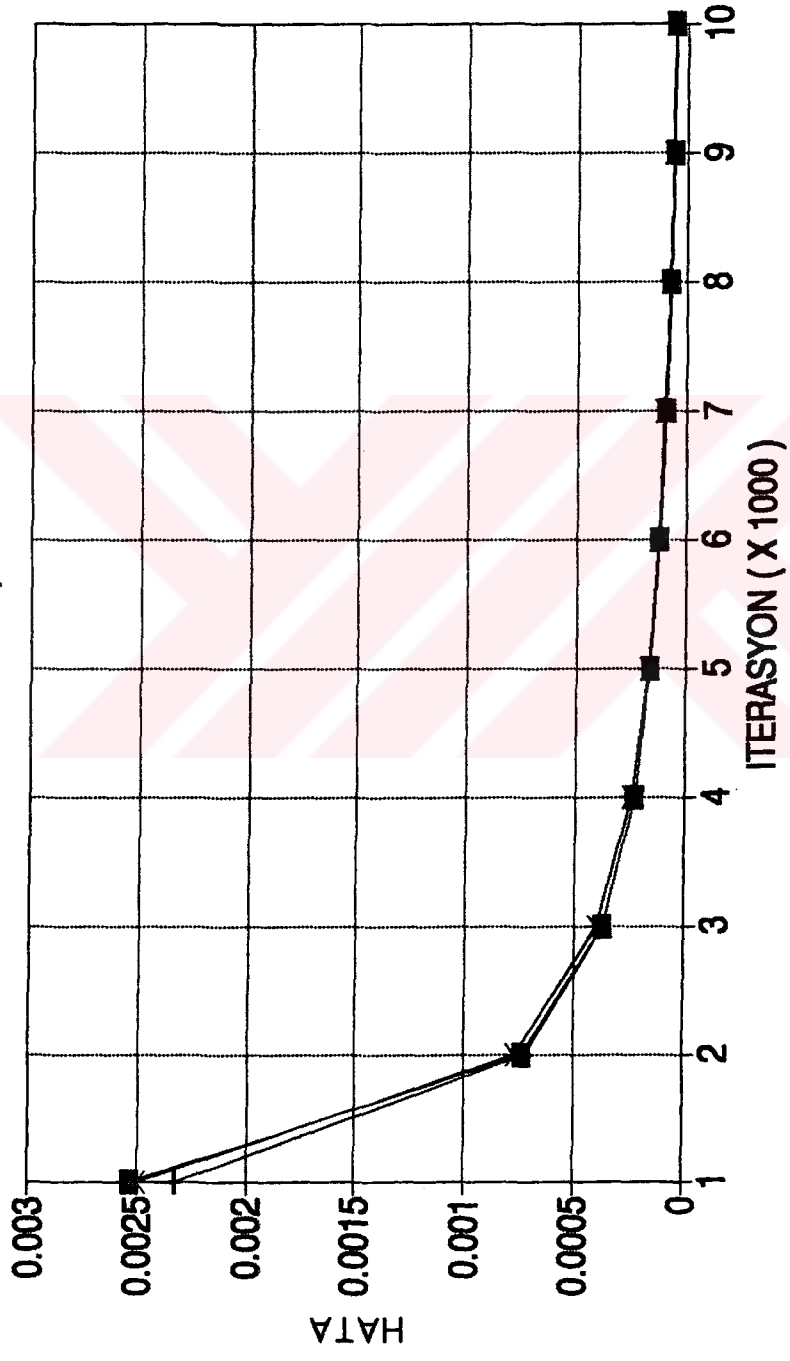
### 2.3 GİZLİ KATMAN DÜĞÜM SAYISI

Nöron ağı için uygun bir gizli düğüm sayısı belirlenmelidir. Gizli katmandaki düğüm sayısı gereğinden fazla artırılırsa hatanın yakınsamasının gecikmesi nedeni ile hesaplama zamanının arttığı gözlenmiştir. Gizli düğüm sayısı değiştirilirken öğrenme oranı 0.2, momentum katsayısı 0.9 alınmıştır.



# XOR PROBLEMİ İÇİN ÖĞRENME HATASI

epsilon = 0.2 alpha = 0.9



■ g. d. sayısı=2    + g. d. sayısı=3    \* g. d. sayısı=4

epsilon = 0.2  
alpha = 0.9  
gizli düğüm sayısı = 3

	giriş		çıkış	hedef değer
0	0.100	0.100	0.105	0.100
1	0.100	0.900	0.896	0.900
2	0.900	0.100	0.896	0.900
3	0.900	0.900	0.105	0.100

iterasyon=10000    eps= 0.003422    hata\_1= 0.000047  
hata\_t= 0.000047

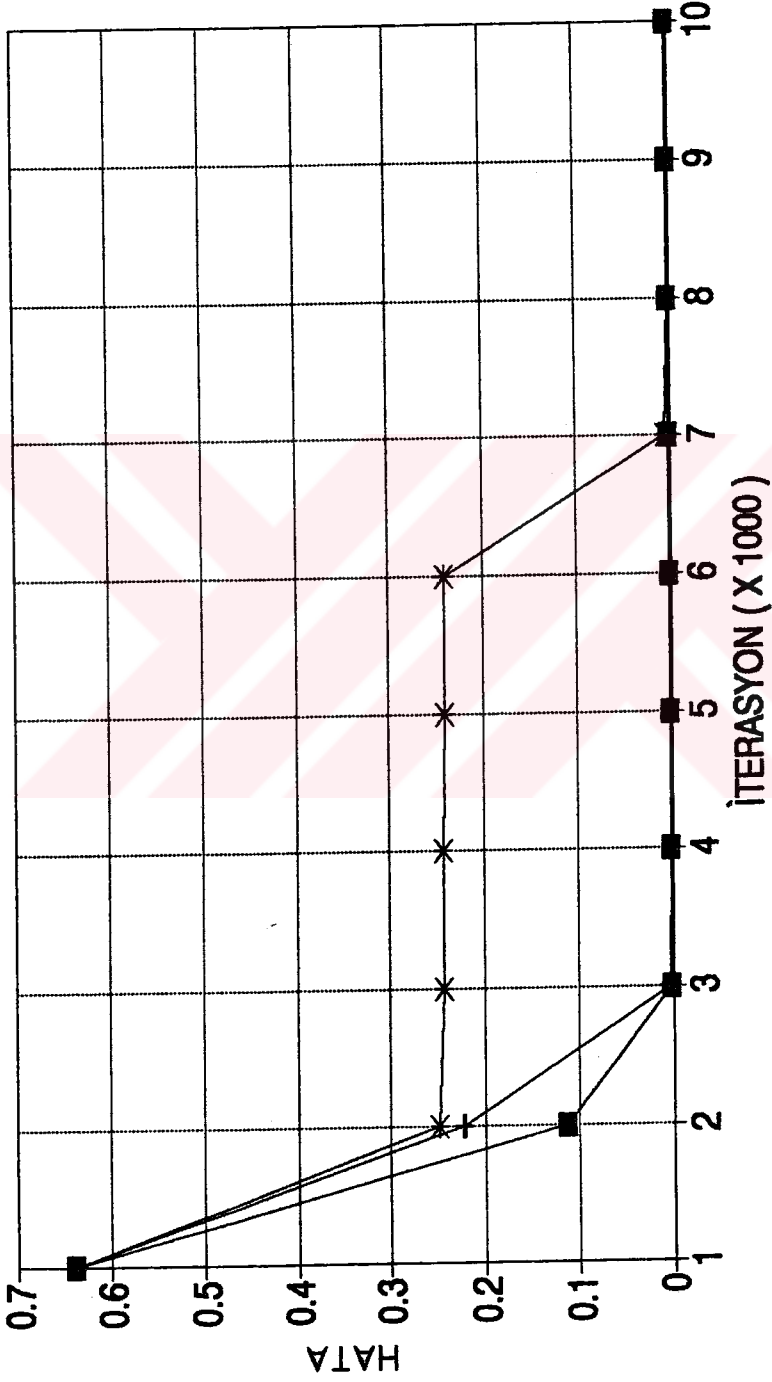
epsilon = 0.2  
alpha = 0.9  
gizli düğüm sayısı = 4

	giriş		çıkış	hedef değer
0	0.100	0.100	0.105	0.100
1	0.100	0.900	0.895	0.900
2	0.900	0.100	0.895	0.900
3	0.900	0.900	0.105	0.100

iterasyon=10000    eps= 0.003509    hata\_1= 0.000049  
hata\_t= 0.000049

### 3 BİT PARİTE PROBLEMİ İÇİN ÖĞR. HATASI

epsilon = 0.2 alpha = 0.9



■ g. d. sayısı=3 + g. d. sayısı=4 \* g. d. sayısı=5

epsilon = 0.2  
alpha = 0.9  
gizli düğüm sayısı = 4

	giriş			cıkış	hedef değer
0	0.100	0.100	0.100	0.100	0.100
1	0.100	0.100	0.900	0.899	0.900
2	0.100	0.900	0.100	0.900	0.900
3	0.100	0.900	0.900	0.104	0.100
4	0.900	0.100	0.100	0.899	0.900
5	0.900	0.100	0.900	0.104	0.100
6	0.900	0.900	0.100	0.104	0.100
7	0.900	0.900	0.900	0.889	0.900

iterasyon=10000 eps= 0.004522 hata\_1= 0.000082  
hata\_t= 0.000082

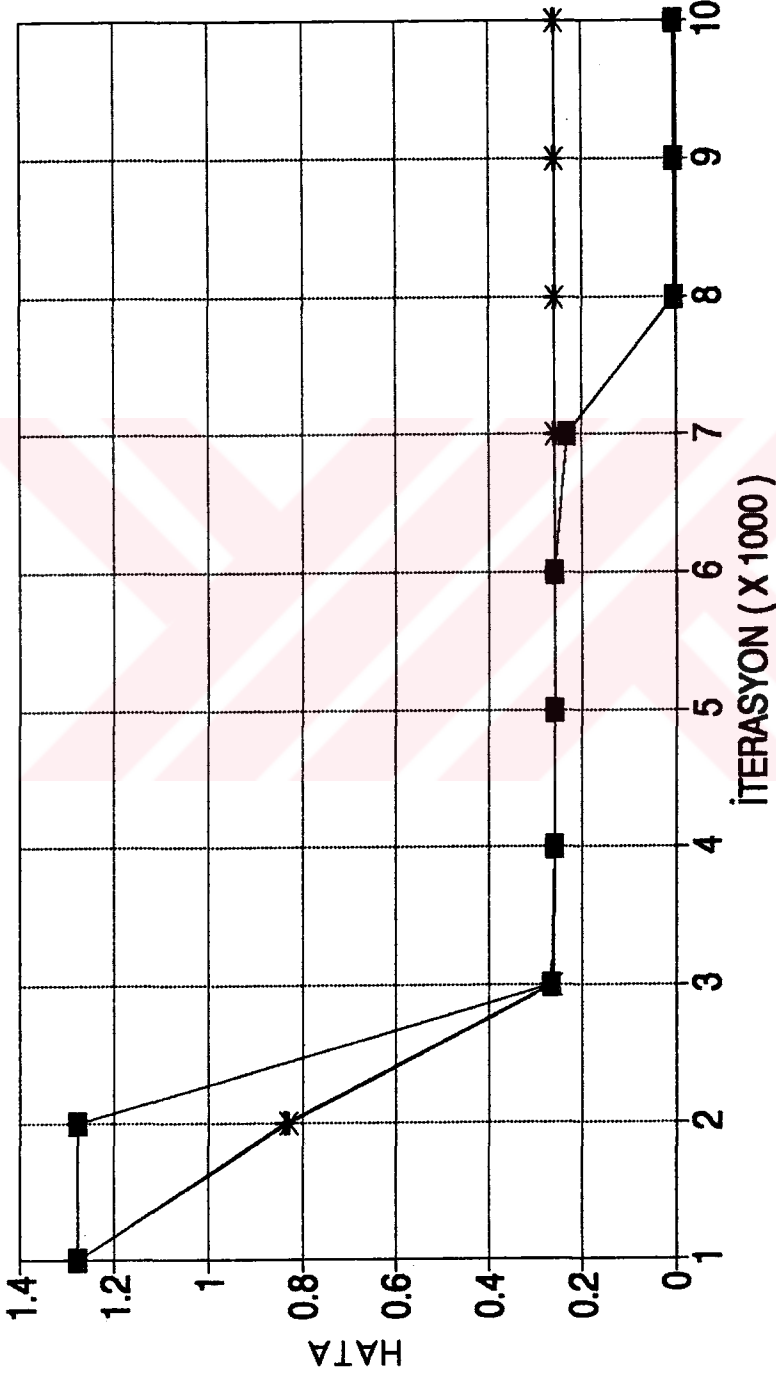
epsilon = 0.2  
alpha = 0.9  
gizli düğüm sayısı = 5

	giriş			cıkış	hedef değer
0	0.100	0.100	0.100	0.105	0.100
1	0.100	0.100	0.900	0.898	0.900
2	0.100	0.900	0.100	0.898	0.900
3	0.100	0.900	0.900	0.107	0.100
4	0.900	0.100	0.100	0.896	0.900
5	0.900	0.100	0.900	0.107	0.100
6	0.900	0.900	0.100	0.107	0.100
7	0.900	0.900	0.900	0.880	0.900

iterasyon=10000 eps= 0.008621 hata\_1= 0.000297  
hata\_t= 0.000297

### 4 BİT PARİTE PROBLEMİ İÇİN ÖĞR. HATASI

epsilon = 0.2 alpha = 0.9



■ g. d. sayısı=4    \* g. d. sayısı=6

epsilon = 0.2  
alpha = 0.9  
gizli düğüm sayısı = 5

	giriş				çıkış	hedef değer
0	0.100	0.100	0.100	0.100	0.100	0.100
1	0.100	0.100	0.100	0.900	0.901	0.900
2	0.100	0.100	0.900	0.100	0.902	0.900
3	0.100	0.100	0.900	0.900	0.104	0.100
4	0.100	0.900	0.100	0.100	0.903	0.900
5	0.100	0.900	0.100	0.900	0.104	0.100
6	0.100	0.900	0.900	0.100	0.104	0.100
7	0.100	0.900	0.900	0.900	0.747	0.900
8	0.900	0.100	0.100	0.100	0.905	0.900
9	0.900	0.100	0.100	0.900	0.104	0.100
10	0.900	0.100	0.900	0.100	0.105	0.100
11	0.900	0.100	0.900	0.900	0.747	0.900
12	0.900	0.900	0.100	0.100	0.105	0.100
13	0.900	0.900	0.100	0.900	0.747	0.900
14	0.900	0.900	0.900	0.100	0.747	0.900
15	0.900	0.900	0.900	0.900	0.748	0.100

iterasyon=10000 eps= 0.255996 hata\_1= 0.262136 hata\_t= 0.256742

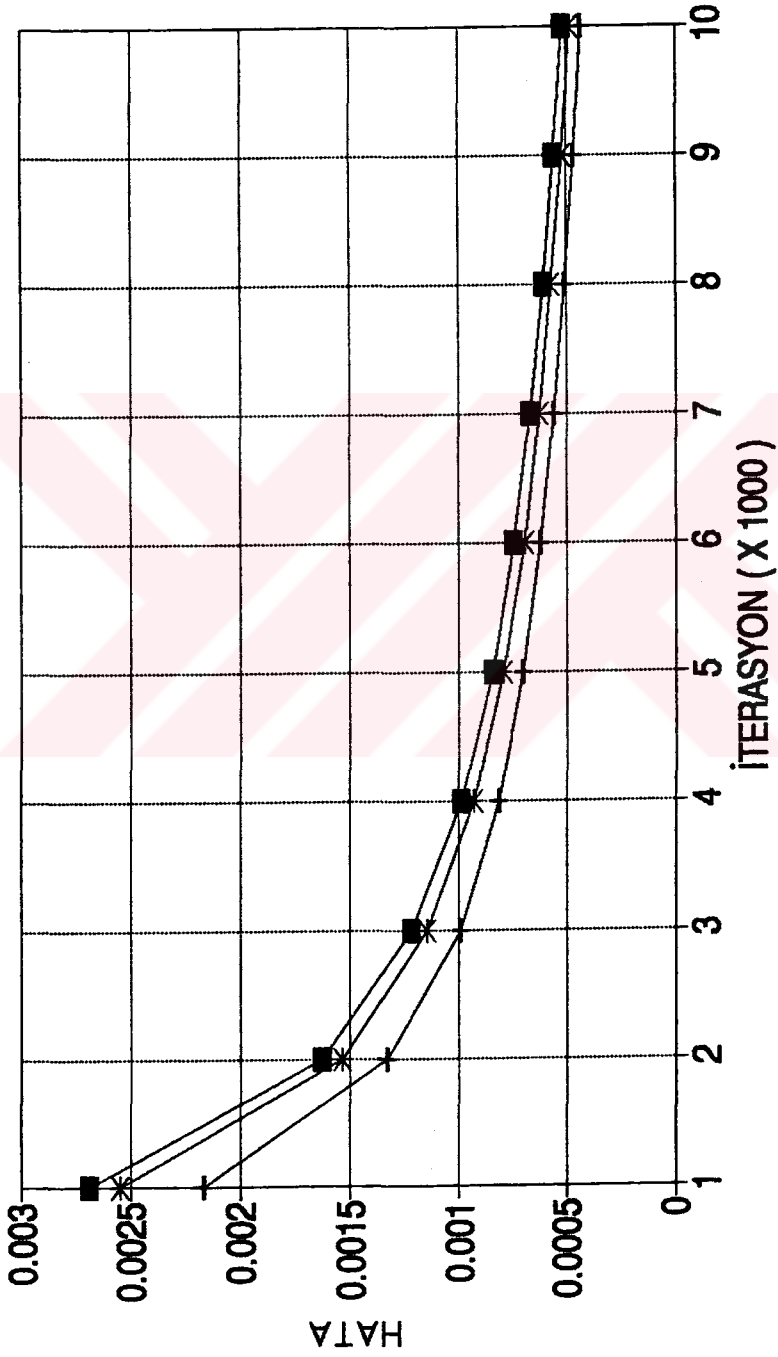
epsilon = 0.2  
alpha = 0.9  
gizli düğüm sayısı = 6

	giriş				çıkış	hedef değer
0	0.100	0.100	0.100	0.100	0.100	0.100
1	0.100	0.100	0.100	0.900	0.901	0.900
2	0.100	0.100	0.900	0.100	0.902	0.900
3	0.100	0.100	0.900	0.900	0.104	0.100
4	0.100	0.900	0.100	0.100	0.903	0.900
5	0.100	0.900	0.100	0.900	0.104	0.100
6	0.100	0.900	0.900	0.100	0.104	0.100
7	0.100	0.900	0.900	0.900	0.747	0.900
8	0.900	0.100	0.100	0.100	0.905	0.900
9	0.900	0.100	0.100	0.900	0.104	0.100
10	0.900	0.100	0.900	0.100	0.105	0.100
11	0.900	0.100	0.900	0.900	0.747	0.900
12	0.900	0.900	0.100	0.100	0.105	0.100
13	0.900	0.900	0.100	0.900	0.747	0.900
14	0.900	0.900	0.900	0.100	0.747	0.900
15	0.900	0.900	0.900	0.900	0.748	0.100

iterasyon=10000 eps= 0.255959 hata\_1= 0.262060 hata\_t= 0.256665

# GAUSS PROBLEMİ İÇİN ÖĞRENME HATASI

epsilon = 0.2 alpha = 0.9



■ g. d. sayısı=2    \* g. d. sayısı=3    + g. d. sayısı=4

epsilon = 0.2  
alpha = 0.9  
gizli düğüm sayısı = 3

	giriş	çıkış	hedef değer
0	-2.77	0.007	0.000
1	-2.03	0.007	0.000
2	-3.69	0.007	0.000
3	-0.29	0.009	0.000
4	-1.75	0.007	0.000
5	0.304	0.018	0.000
6	4.969	0.994	1.000
7	2.062	0.989	1.000
8	2.162	0.990	1.000
9	2.867	0.993	1.000

iterasyon=10000      eps= 0.010366      hata\_1= 0.000430  
hata\_t= 0.000430

epsilon = 0.2  
alpha = 0.9  
gizli düğüm sayısı = 4

	giriş	çıkış	hedef değer
0	0.113	0.020	0.000
1	-1.71	0.005	0.000
2	-0.10	0.009	0.000
3	-0.56	0.006	0.000
4	-0.10	0.009	0.000
5	0.717	0.983	1.000
6	1.475	0.996	1.000
7	2.759	0.997	1.000
8	1.859	0.996	1.000
9	2.937	0.997	1.000

iterasyon=10000      eps= 0.010974      hata\_1= 0.000482  
hata\_t= 0.000482

### BÖLÜM 3

#### ÇOK KATMANLI ALGILAYICININ AĞIRLIKLARA GÖRE DUYARLIĞI

##### 3.1 DUYARLIK FONKSİYONLARI

Sıcaklık, nem, vs. gibi çevre koşulları nedeni ile sistem parametrelerinde değişme olur. Bu değişmeler sistemi temsil eden büyüklüklere etki eder. Meydana gelen değişimlerin belli sınırlar içinde kalması gerekir. Bu nedenle bu değişimlerin bulunması gereklidir.

Bir sistemde x parametresine bağlı bir büyüklük y olmak üzere x'de meydana gelen  $\Delta x$  değişmesi nedeni ile y'de meydana gelen değişmeyi bulmak için tanımlanan ve  $S[y,x]$  ile gösterilen duyarlık fonksiyonu dört ayrı biçimde tanımlanır.

1. Normalleştirilmiş duyarlık:

$$\frac{\Delta y}{y} = S[y,x] \frac{\Delta x}{x} \quad S[y,x] = \frac{\partial \ln y}{\partial \ln x} \quad [3.1.1]$$

2. y'ye göre yarı-normalleştirilmiş duyarlık:

$$\Delta y = S[y,x] \frac{\Delta x}{x} \quad S[y,x] = \frac{\partial y}{\partial \ln x} \quad [3.1.2]$$

3. x'e göre yarı-normalleştirilmiş duyarlık:

$$\frac{\Delta y}{y} = S[y,x] \Delta x \quad S[y,x] = \frac{\partial \ln y}{\partial x} \quad [3.1.3]$$

4. Normalleştirilmemiş duyarlık:

$$\Delta y = S[y,x] \Delta x \quad S[y,x] = \frac{\partial y}{\partial x} \quad [3.1.4]$$

Yapay nöron ağında w (ağırlık) parametresine göre ağ çıkışı  $y(w)$  ile gösterilsin. w ' da meydana gelen küçük bir  $\Delta w$  değişmesi nedeniyle çıkışta meydana gelen değişmeyi bulmak için tanımlanan ve  $S[y,w]$  ya da  $S_y^w$  ile gösterilen duyarlık fonksiyonu aşağıdaki biçimde tanımlanmıştır.

$$S_{w_i}^y = \frac{\partial y}{\partial w_i} \quad i = 1, 2, \dots \quad [3.1.5]$$

$W$ ,  $w$  ağırlıklarından meydana gelen bir ağırlık vektörü olmak üzere çıkışın  $W'$  ya göre duyarlılığı

$$S_W^y = [S_{w_1}^y \ S_{w_2}^y \ S_{w_3}^y \ \dots \ S_{w_k}^y]^t \quad [3.1.6]$$

ile verilir [7].

İncelenen tüm problemlerde  $w(k,i,j)$ ,  $k$ . katmandaki  $i$ . nörona  $k-1$ . katmandaki  $j$ . nörondan gelen ağırlığı;  $O[k,i]$  ise  $k$ . katmandaki  $i$ . nöron çıkışını temsil eder.

Xor ve parite problemlerinde  $k=0$  giriş katmanı,  $k=1$  gizli katman,  $k=2$  çıkış katmanıdır. Gauss probleminde ise farklı olarak  $k=1$  ve  $k=2$  gizli katman,  $k=3$  çıkış katmanıdır.

Ele alınan problemler için verilen sonuçlarda  $d_{ij}$ ,  $i$ . giriş paternine ait  $w_j$  ağırlığına göre hesaplanmış duyarlıktır.

Sınıflandırma problemlerinde çok katmanlı algılayıcının duyarlık ölçümü her giriş paterni için bulunan duyarlılığın maksimumu tarafından belirlenir [3].

### 3.2 XOR PROBLEMİ İÇİN DUYARLIK

Sistem ağırlık ve çıkışları aşağıdaki gibi ifade edilebilir.

Matrisel olarak,

$$W(1) = \begin{bmatrix} w(1,0,0) & w(1,0,1) \\ w(1,1,0) & w(1,1,1) \end{bmatrix}$$

$$W(2) = [w(2,0,0) \quad w(2,0,1)]$$

$$w_1 = w[2,0,0] \quad w_2 = w[2,0,1]$$

$$w_3 = w[1,0,0] \quad w_4 = w[1,0,1]$$

$$w_5 = w[1,1,0] \quad w_6 = w[1,1,1]$$

$$O[2,0] = y_{2,0} = y$$

$$O[1,0] = y_{1,0} \quad O[1,1] = y_{1,1}$$

$$O[0,0] = y_{0,0} \quad O[0,1] = y_{0,1}$$

$$y_{2,0} = \frac{1}{1 + e^{-(w_1 y_{1,0} + w_2 y_{1,1})}} \quad [3.2.1]$$

$$y_{1,0} = \frac{1}{1 + e^{-(w_3 y_{0,0} + w_4 y_{0,1})}} \quad [3.2.2]$$

$$y_{1,1} = \frac{1}{1 + e^{-(w_5 y_{0,0} + w_6 y_{0,1})}} \quad [3.2.3]$$

Gizli katman çıkışlarının ağırlıklara göre türevleri:

$$\frac{\partial y_{1,0}}{\partial w_3} = y_{0,0} * y_{1,0} * (1 - y_{1,0}) \quad [3.2.4]$$

$$\frac{\partial y_{1,0}}{\partial w_4} = y_{0,1} * y_{1,0} * (1 - y_{1,0}) \quad [3.2.5]$$

$$\frac{\partial y_{1,1}}{\partial w_5} = y_{0,0} * y_{1,1} * (1 - y_{1,1}) \quad [3.2.6]$$

$$\frac{\partial y_{1,1}}{\partial w_6} = y_{0,1} * y_{1,1} * (1 - y_{1,1}) \quad [3.2.7]$$

Çıkışın ağırlıklara göre duyarlılıkları aşağıdaki biçimde bulunabilir.

$$S_{w_1}^y = y_{1,0} * y_{2,0} * (1 - y_{2,0}) \quad [3.2.8]$$

$$S_{w_2}^y = y_{1,1} * y_{2,0} * (1 - y_{2,0}) \quad [3.2.9]$$

$$S_{w_3}^y = w_1 * y_{0,0} * y_{1,0} * (1 - y_{1,0}) * y_{2,0} * (1 - y_{2,0}) \quad [3.2.10]$$

$$S_{w_4}^y = w_1 * y_{0,1} * y_{1,0} * (1 - y_{1,0}) * y_{2,0} * (1 - y_{2,0}) \quad [3.2.11]$$

$$S_{w_5}^y = w_2 * y_{0,0} * y_{1,1} * (1 - y_{1,1}) * y_{2,0} * (1 - y_{2,0}) \quad [3.2.12]$$

$$S_{w_6}^y = w_2 * y_{0,1} * y_{1,1} * (1 - y_{1,1}) * y_{2,0} * (1 - y_{2,0}) \quad [3.2.13]$$

	giriş		cıkış	hedef değer
	-----	-----	-----	-----
0	0.100	0.100	0.105	0.100
d0,1	=	0.000915686093		
d0,2	=	0.013690672753		
d0,3	=	-0.000666471786		
d0,4	=	-0.000666471786		
d0,5	=	0.007901695456		
d0,6	=	0.007901695456		
1	0.100	0.900	0.896	0.900
d1,1	=	0.015255631647		
d1,2	=	0.088715763586		
d1,3	=	-0.009385031102		
d1,4	=	-0.084465279919		
d1,5	=	0.003112381336		
d1,6	=	0.028011432023		
2	0.900	0.100	0.896	0.900
d2,1	=	0.015244834401		
d2,2	=	0.088705195097		
d2,3	=	-0.084417488886		
d2,4	=	-0.009379720987		
d2,5	=	0.028080028336		
d2,6	=	0.003120003148		
3	0.900	0.900	0.105	0.100
d3,1	=	0.074821613636		
d3,2	=	0.094240796639		
d3,3	=	-0.102192361194		
d3,4	=	-0.102192361194		
d3,5	=	0.000294502050		
d3,6	=	0.000294502050		

Tablo 3.2

Xor problemi için sistem duyarlılıkları

ağırlık	duyarlık
-----	-----
w[2,0,0]	d3,1
w[2,0,1]	d3,2
w[1,0,0]	d3,3
w[1,0,1]	d3,4
w[1,1,0]	d2,5
w[1,1,1]	d1,6

### 3.3 3 BİT PARİTE PROBLEMİ İÇİN DUYARLIK

Sistem ağırlık ve çıkışları:

Matrisel olarak,

$$W(2) = [ w(2,0,0) \quad w(2,0,1) \quad w(2,0,2) ]$$

$$W(1) = \begin{bmatrix} w(1,0,0) & w(1,0,1) & w(1,0,2) \\ w(1,1,0) & w(1,1,1) & w(1,1,2) \\ w(1,2,0) & w(1,2,1) & w(1,2,2) \end{bmatrix}$$

$$w_1 = w(2,0,0) \quad w_2 = w(2,0,1) \quad w_3 = w(2,0,2)$$

$$w_4 = w(1,0,0) \quad w_5 = w(1,0,1) \quad w_6 = w(1,0,2)$$

$$w_7 = w(1,1,0) \quad w_8 = w(1,1,1) \quad w_9 = w(1,1,2)$$

$$w_{10} = w(1,2,0) \quad w_{11} = w(1,2,1) \quad w_{12} = w(1,2,2)$$

$$O[2,0] = y_{2,0} = y$$

$$O[1,0] = y_{1,0} \quad O[1,1] = y_{1,1} \quad O[1,2] = y_{1,2}$$

$$O[0,0] = y_{0,0} \quad O[0,1] = y_{0,1} \quad O[0,2] = y_{0,2}$$

$$y_{2,0} = \frac{1}{1 + e^{-(w_1 y_{1,0} + w_2 y_{1,1} + w_3 y_{1,2})}} \quad [3.3.1]$$

$$y_{1,0} = \frac{1}{1 + e^{-(w_4 y_{0,0} + w_5 y_{0,1} + w_6 y_{0,2})}} \quad [3.3.2]$$

$$y_{1,1} = \frac{1}{1 + e^{-(w_7 y_{0,0} + w_8 y_{0,1} + w_9 y_{0,2})}} \quad [3.3.3]$$

$$y_{1,2} = \frac{1}{1 + e^{-(w_{10} y_{0,0} + w_{11} y_{0,1} + w_{12} y_{0,2})}} \quad [3.3.4]$$

Gizli katman çıkışlarının ağırlıklara göre türevleri:

$$\frac{\partial y_{1,0}}{\partial w_4} = y_{0,0} * y_{1,0} * (1 - y_{1,0}) \quad [3.3.5]$$

$$\frac{\partial y_{1,0}}{\partial w_5} = y_{0,1} * y_{1,0} * (1 - y_{1,0}) \quad [3.3.6]$$

$$\frac{\partial y_{1,0}}{\partial w_6} = y_{0,2} * y_{1,0} * (1 - y_{1,0}) \quad [3.3.7]$$

$$\frac{\partial y_{1,1}}{\partial w_7} = y_{0,0} * y_{1,1} * (1 - y_{1,1}) \quad [3.3.8]$$

$$\frac{\partial y_{1,1}}{\partial w_8} = y_{0,1} * y_{1,1} * (1 - y_{1,1}) \quad [3.3.9]$$

$$\frac{\partial y_{1,1}}{\partial w_9} = y_{0,2} * y_{1,1} * (1 - y_{1,1}) \quad [3.3.10]$$

$$\frac{\partial y_{1,2}}{\partial w_{10}} = y_{0,0} * y_{1,2} * (1 - y_{1,2}) \quad [3.3.11]$$

$$\frac{\partial y_{1,2}}{\partial w_{11}} = y_{0,1} * y_{1,2} * (1 - y_{1,2}) \quad [3.3.12]$$

$$\frac{\partial y_{1,2}}{\partial w_{12}} = y_{0,2} * y_{1,2} * (1 - y_{1,2}) \quad [3.3.13]$$

Çıkışın ağırlıklara göre duyarlılığı:

$$S_{w_1}^y = y_{1,0} * y_{2,0} * (1 - y_{2,0}) \quad [3.3.14]$$

$$S_{w_2}^y = y_{1,1} * y_{2,0} * (1 - y_{2,0}) \quad [3.3.15]$$

$$S_{w_3}^y = y_{1,2} * y_{2,0} * (1 - y_{2,0}) \quad [3.3.16]$$

$$S_{w_4}^y = w_1 * y_{0,0} * y_{1,0} * (1 - y_{1,0}) * y_{2,0} * (1 - y_{2,0}) \quad [3.3.17]$$

$$S_{w_5}^y = w_1 * y_{0,1} * y_{1,0} * (1 - y_{1,0}) * y_{2,0} * (1 - y_{2,0}) \quad [3.3.18]$$

$$S_{w_6}^y = w_1 * y_{0,2} * y_{1,0} * (1 - y_{1,0}) * y_{2,0} * (1 - y_{2,0}) \quad [3.3.19]$$

$$S_{w_7}^y = w_2 * y_{0,0} * y_{1,1} * (1 - y_{1,1}) * y_{2,0} * (1 - y_{2,0}) \quad [3.3.20]$$

$$S_{w_8}^y = w_2 * y_{0,1} * y_{1,1} * (1 - y_{1,1}) * y_{2,0} * (1 - y_{2,0}) \quad [3.3.21]$$

$$S_{w_9}^y = w_2 * y_{0,2} * y_{1,1} * (1 - y_{1,1}) * y_{2,0} * (1 - y_{2,0}) \quad [3.3.22]$$

$$S_{w_{10}}^y = w_3 * y_{0,0} * y_{1,2} * (1 - y_{1,2}) * y_{2,0} * (1 - y_{2,0}) \quad [3.3.23]$$

$$S_{w_{11}}^y = w_3 * y_{0,1} * y_{1,2} * (1 - y_{1,2}) * y_{2,0} * (1 - y_{2,0}) \quad [3.3.24]$$

$$S_{w_{12}}^y = w_3 * y_{0,2} * y_{1,2} * (1 - y_{1,2}) * y_{2,0} * (1 - y_{2,0}) \quad [3.3.25]$$

	giriş			cıkış	hedef değeri
0	0.100	0.100	0.100	0.104	0.100

d0,1 = 0.091469453062  
d0,2 = 0.001621108236  
d0,3 = 0.078750576825  
d0,4 = 0.001248370983  
d0,5 = 0.001248370983  
d0,6 = 0.001248370983  
d0,7 = 0.001195274124  
d0,8 = 0.001195274124  
d0,9 = 0.001195274124  
d0,10 = -0.008940722454  
d0,11 = -0.008940722454  
d0,12 = -0.008940722454

1	0.100	0.100	0.900	0.896	0.900
---	-------	-------	-------	-------	-------

d1,1 = 0.070897685254  
d1,2 = 0.000008839121  
d1,3 = 0.001553545858  
d1,4 = 0.012508257615  
d1,5 = 0.012508257615  
d1,6 = 0.112574318537  
d1,7 = 0.000006631973  
d1,8 = 0.000006631973  
d1,9 = 0.000059687755  
d1,10 = -0.001117676954  
d1,11 = -0.001117676954  
d1,12 = -0.010059092585

2	0.100	0.900	0.100	0.900	0.900
---	-------	-------	-------	-------	-------

d2,1 = 0.090113230353  
d2,2 = 0.065890791211  
d2,3 = 0.090162509314  
d2,4 = 0.000071863738  
d2,5 = 0.000646773638  
d2,6 = 0.000071863738  
d2,7 = 0.013329707092  
d2,8 = 0.119967363830  
d2,9 = 0.013329707092  
d2,10 = -0.000036207532  
d2,11 = -0.000325867785  
d2,12 = -0.000036207532

	giris			cikis	hedef deger
3	0.100	0.900	0.900	0.099	0.100
d3,1	=	0.087752625076			
d3,2	=	0.001273936401			
d3,3	=	0.075919047823			
d3,4	=	0.001151683385			
d3,5	=	0.010365150468			
d3,6	=	0.010365150468			
d3,7	=	0.000942294562			
d3,8	=	0.008480651060			
d3,9	=	0.008480651060			
d3,10	=	-0.008355846235			
d3,11	=	-0.075202616115			
d3,12	=	-0.075202616115			
4	0.900	0.100	0.100	0.896	0.900
d4,1	=	0.070890609589			
d4,2	=	0.000008841257			
d4,3	=	0.001555304556			
d4,4	=	0.112539608918			
d4,5	=	0.012504400991			
d4,6	=	0.012504400991			
d4,7	=	0.000059702176			
d4,8	=	0.000006633575			
d4,9	=	0.000006633575			
d4,10	=	-0.010070259200			
d4,11	=	-0.001118917689			
d4,12	=	-0.001118917689			
5	0.900	0.100	0.900	0.109	0.100
d5,1	=	0.015275032644			
d5,2	=	0.000000048949			
d5,3	=	0.000005086781			
d5,4	=	0.084345313101			
d5,5	=	0.009371701456			
d5,6	=	0.084345313101			
d5,7	=	0.000000330570			
d5,8	=	0.000000036730			
d5,9	=	0.000000330570			
d5,10	=	-0.000033490858			
d5,11	=	-0.000003721206			
d5,12	=	-0.000033490858			

	giriş			çıkış	hedef değer
6	0.900	0.900	0.100	0.099	0.100
d6,1	=	0.087671841489			
d6,2	=	0.001273269487			
d6,3	=	0.075863835468			
d6,4	=	0.010352809849			
d6,5	=	0.010352809849			
d6,6	=	0.001150312205			
d6,7	=	0.008476162062			
d6,8	=	0.008476162062			
d6,9	=	0.000941795785			
d6,10	=	-0.075063702617			
d6,11	=	-0.075063702617			
d6,12	=	-0.008340411402			
7	0.900	0.900	0.900	0.900	0.900
d7,1	=	0.068878888820			
d7,2	=	0.000006953038			
d7,3	=	0.001551754610			
d7,4	=	0.106076912750			
d7,5	=	0.106076912750			
d7,6	=	0.106076912750			
d7,7	=	0.000046952445			
d7,8	=	0.000046952445			
d7,9	=	0.000046952445			
d7,10	=	-0.010041045110			
d7,11	=	-0.010041045110			
d7,12	=	-0.010041045110			

Tablo 3.3

3 bit parite problemi için sistem duyarlılıkları

agırlık	duyarlık
w[2,0,0]	d0,1
w[2,0,1]	d2,2
w[2,0,2]	d2,3
w[1,0,0]	d4,4
w[1,0,1]	d7,5
w[1,0,2]	d1,6
w[1,1,0]	d2,7
w[1,1,1]	d2,8
w[1,1,2]	d2,9
w[1,2,0]	d6,10
w[1,2,1]	d3,11
w[1,2,2]	d3,12

### 3.4 4 BİT PARİTE PROBLEMİ İÇİN DUYARLIK

Sistem ağırlıkları ve çıkışları:

Matrisel olarak,

$$W(2) = [ w(2,0,0) \ w(2,0,1) \ w(2,0,2) \ w(2,0,3) ]$$

$$W(1) = \begin{bmatrix} w(1,0,0) & w(1,0,1) & w(1,0,2) & w(1,0,3) \\ w(1,1,0) & w(1,1,1) & w(1,1,2) & w(1,1,3) \\ w(1,2,0) & w(1,2,1) & w(1,2,2) & w(1,2,3) \\ w(1,3,0) & w(1,3,1) & w(1,3,2) & w(1,3,3) \end{bmatrix}$$

$$w_1 = w[2,0,0] \quad w_2 = w[2,0,1] \quad w_3 = w[2,0,2] \quad w_4 = w[2,0,3]$$

$$w_5 = w[1,0,0] \quad w_6 = w[1,0,1] \quad w_7 = w[1,0,2] \quad w_8 = w[1,0,3]$$

$$w_9 = w[1,1,0] \quad w_{10} = w[1,1,1] \quad w_{11} = w[1,1,2] \quad w_{12} = w[1,1,3]$$

$$w_{13} = w[1,2,0] \quad w_{14} = w[1,2,1] \quad w_{15} = w[1,2,2] \quad w_{16} = w[1,2,3]$$

$$w_{17} = w[1,3,0] \quad w_{18} = w[1,3,1] \quad w_{19} = w[1,3,2] \quad w_{20} = w[1,3,3]$$

$$O[2,0] = y_{2,0} = y$$

$$O[1,0] = y_{1,0} \quad O[1,1] = y_{1,1} \quad O[1,2] = y_{1,2} \quad O[1,3] = y_{1,3}$$

$$O[0,0] = y_{0,0} \quad O[0,1] = y_{0,1} \quad O[0,2] = y_{0,2} \quad O[0,3] = y_{0,3}$$

$$y_{2,0} = \frac{1}{1 + e^{-(w_1 y_{1,0} + w_2 y_{1,1} + w_3 y_{1,2} + w_4 y_{1,3})}} \quad [3.4.1]$$

$$y_{1,0} = \frac{1}{1 + e^{-(w_5 y_{0,0} + w_6 y_{0,1} + w_7 y_{0,2} + w_8 y_{0,3})}} \quad [3.4.2]$$

$$y_{1,1} = \frac{1}{1 + e^{-(w_9 y_{0,0} + w_{10} y_{0,1} + w_{11} y_{0,2} + w_{12} y_{0,3})}} \quad [3.4.3]$$

$$y_{1,2} = \frac{1}{1+e^{-(w_{13}*y_{0,0}+w_{14}*y_{0,1}+w_{15}*y_{0,2}+w_{16}*y_{0,3})}} \quad [3.4.4]$$

$$y_{1,3} = \frac{1}{1+e^{-(w_{17}*y_{0,0}+w_{18}*y_{0,1}+w_{19}*y_{0,2}+w_{20}*y_{0,3})}} \quad [3.4.5]$$

Gizli katman çıkışlarının ağırlıklara göre türevleri:

$$\frac{\partial y_{1,0}}{\partial w_5} = y_{0,0} * y_{1,0} * (1-y_{1,0}) \quad [3.4.6]$$

$$\frac{\partial y_{1,0}}{\partial w_6} = y_{0,1} * y_{1,0} * (1-y_{1,0}) \quad [3.4.7]$$

$$\frac{\partial y_{1,0}}{\partial w_7} = y_{0,2} * y_{1,0} * (1-y_{1,0}) \quad [3.4.8]$$

$$\frac{\partial y_{1,0}}{\partial w_8} = y_{0,3} * y_{1,0} * (1-y_{1,0}) \quad [3.4.9]$$

$$\frac{\partial y_{1,1}}{\partial w_9} = y_{0,0} * y_{1,1} * (1-y_{1,1}) \quad [3.4.10]$$

$$\frac{\partial y_{1,1}}{\partial w_{10}} = y_{0,1} * y_{1,1} * (1-y_{1,1}) \quad [3.4.11]$$

$$\frac{\partial y_{1,1}}{\partial w_{11}} = y_{0,2} * y_{1,1} * (1-y_{1,1}) \quad [3.4.12]$$

$$\frac{\partial y_{1,1}}{\partial w_{12}} = y_{0,3} * y_{1,1} * (1-y_{1,1}) \quad [3.4.13]$$

$$\frac{\partial y_{1,2}}{\partial w_{13}} = y_{0,0} * y_{1,2} * (1-y_{1,2}) \quad [3.4.14]$$

$$\frac{\partial y_{1,2}}{\partial w_{14}} = y_{0,1} * y_{1,2} * (1 - y_{1,2}) \quad [3.4.15]$$

$$\frac{\partial y_{1,2}}{\partial w_{15}} = y_{0,2} * y_{1,2} * (1 - y_{1,2}) \quad [3.4.16]$$

$$\frac{\partial y_{1,2}}{\partial w_{16}} = y_{0,3} * y_{1,2} * (1 - y_{1,2}) \quad [3.4.17]$$

$$\frac{\partial y_{1,3}}{\partial w_{17}} = y_{0,0} * y_{1,3} * (1 - y_{1,3}) \quad [3.4.18]$$

$$\frac{\partial y_{1,3}}{\partial w_{18}} = y_{0,1} * y_{1,3} * (1 - y_{1,3}) \quad [3.4.19]$$

$$\frac{\partial y_{1,3}}{\partial w_{19}} = y_{0,2} * y_{1,3} * (1 - y_{1,3}) \quad [3.4.20]$$

$$\frac{\partial y_{1,3}}{\partial w_{20}} = y_{0,3} * y_{1,3} * (1 - y_{1,3}) \quad [3.4.21]$$

Çıkışın ağırlıklara göre duyarlılığı

$$S_{w_1}^y = y_{1,0} * y_{2,0} * (1 - y_{2,0}) \quad [3.4.22]$$

$$S_{w_2}^y = y_{1,1} * y_{2,0} * (1 - y_{2,0}) \quad [3.4.23]$$

$$S_{w_3}^y = y_{1,2} * y_{2,0} * (1 - y_{2,0}) \quad [3.4.24]$$

$$S_{w_4}^y = y_{1,3} * y_{2,0} * (1 - y_{2,0}) \quad [3.4.25]$$

$$S_{w_5}^y = w_1 * y_{0,0} * y_{1,0} * (1 - y_{1,0}) * y_{2,0} * (1 - y_{2,0}) \quad [3.4.26]$$

$$S_{w_6}^y = w_1 * y_{0,1} * y_{1,0} * (1 - y_{1,0}) * y_{2,0} * (1 - y_{2,0}) \quad [3.4.27]$$

$$S_{w_7}^y = w_1 * y_{0,2} * y_{1,0} * (1 - y_{1,0}) * y_{2,0} * (1 - y_{2,0}) \quad [3.4.28]$$

$$S_{w_8}^y = w_1 * y_{0,3} * y_{1,0} * (1 - y_{1,0}) * y_{2,0} * (1 - y_{2,0}) \quad [3.4.29]$$

$$S_{w_9}^y = w_2 * y_{0,0} * y_{1,1} * (1 - y_{1,1}) * y_{2,0} * (1 - y_{2,0}) \quad [3.4.30]$$

$$S_{w_{10}}^y = w_2 * y_{0,1} * y_{1,1} * (1 - y_{1,1}) * y_{2,0} * (1 - y_{2,0}) \quad [3.4.31]$$

$$S_{w_{11}}^y = w_2 * y_{0,2} * y_{1,1} * (1 - y_{1,1}) * y_{2,0} * (1 - y_{2,0}) \quad [3.4.32]$$

$$S_{w_{12}}^y = w_2 * y_{0,3} * y_{1,1} * (1 - y_{1,1}) * y_{2,0} * (1 - y_{2,0}) \quad [3.4.33]$$

$$S_{w_{13}}^y = w_3 * y_{0,0} * y_{1,2} * (1 - y_{1,2}) * y_{2,0} * (1 - y_{2,0}) \quad [3.4.34]$$

$$S_{w_{14}}^y = w_3 * y_{0,1} * y_{1,2} * (1 - y_{1,2}) * y_{2,0} * (1 - y_{2,0}) \quad [3.4.35]$$

$$S_{w_{15}}^y = w_3 * y_{0,2} * y_{1,2} * (1 - y_{1,2}) * y_{2,0} * (1 - y_{2,0}) \quad [3.4.36]$$

$$S_{w_{16}}^y = w_3 * y_{0,3} * y_{1,2} * (1 - y_{1,2}) * y_{2,0} * (1 - y_{2,0}) \quad [3.4.37]$$

$$S_{w_{17}}^y = w_4 * y_{0,0} * y_{1,3} * (1 - y_{1,3}) * y_{2,0} * (1 - y_{2,0}) \quad [3.4.38]$$

$$S_{w_{13}}^y = w_4 * y_{0,1} * y_{1,3} * (1 - y_{1,3}) * y_{2,0} * (1 - y_{2,0}) \quad [3.4.39]$$

$$S_{w_{19}}^y = w_4 * y_{0,2} * y_{1,3} * (1 - y_{1,3}) * y_{2,0} * (1 - y_{2,0}) \quad [3.4.40]$$

$$S_{w_{20}}^y = w_4 * y_{0,3} * y_{1,3} * (1 - y_{1,3}) * y_{2,0} * (1 - y_{2,0}) \quad [3.4.41]$$



	giriş				cıkış	hedef değer
0	0.100	0.100	0.100	0.100	0.101	0.100
d0,1	=	0.090483451255				
d0,2	=	0.090401336941				
d0,3	=	0.075866431903				
d0,4	=	0.090375899276				
d0,5	=	-0.000000155888				
d0,6	=	-0.000000155888				
d0,7	=	-0.000000155888				
d0,8	=	-0.000000155888				
d0,9	=	0.000089325125				
d0,10	=	0.000089325125				
d0,11	=	0.000089325125				
d0,12	=	0.000089325125				
d0,13	=	-0.011659672200				
d0,14	=	-0.011659672200				
d0,15	=	-0.011659672200				
d0,16	=	-0.011659672200				
d0,17	=	0.000096904886				
d0,18	=	0.000096904886				
d0,19	=	0.000096904886				
d0,20	=	0.000096904886				
1	0.100	0.100	0.100	0.900	0.900	0.900
d1,1	=	0.089875237181				
d1,2	=	0.062763840590				
d1,3	=	0.002382269790				
d1,4	=	0.089147076731				
d1,5	=	-0.000083844680				
d1,6	=	-0.000083844680				
d1,7	=	-0.000083844680				
d1,8	=	-0.000754602121				
d1,9	=	0.020619621497				
d1,10	=	0.020619621497				
d1,11	=	0.020619621497				
d1,12	=	0.185576593474				
d1,13	=	-0.002206368110				
d1,14	=	-0.002206368110				
d1,15	=	-0.002206368110				
d1,16	=	-0.019857312990				
d1,17	=	0.000722506844				
d1,18	=	0.000722506844				
d1,19	=	0.000722506844				
d1,20	=	0.006502561600				

	giriş				cıkış	hedef değer
2	0.100	0.100	0.900	0.100	0.900	0.900
d2,1	=	0.089875647038				
d2,2	=	0.062836822005				
d2,3	=	0.002465296647				
d2,4	=	0.089147393942				
d2,5	=	-0.000083842306				
d2,6	=	-0.000083842306				
d2,7	=	-0.000754580758				
d2,8	=	-0.000083842306				
d2,9	=	0.020588409202				
d2,10	=	0.020588409202				
d2,11	=	0.185295682819				
d2,12	=	0.020588409202				
d2,13	=	-0.002281100028				
d2,14	=	-0.002281100028				
d2,15	=	-0.020529900249				
d2,16	=	-0.002281100028				
d2,17	=	0.000722586795				
d2,18	=	0.000722586795				
d2,19	=	0.006503281155				
d2,20	=	0.000722586795				
3	0.100	0.100	0.900	0.900	0.100	0.100
d3,1	=	0.060507205249				
d3,2	=	0.000436487047				
d3,3	=	0.000013308313				
d3,4	=	0.084296268368				
d3,5	=	-0.020556831901				
d3,6	=	-0.020556831901				
d3,7	=	-0.185011487112				
d3,8	=	-0.185011487112				
d3,9	=	0.000472080355				
d3,10	=	0.000472080355				
d3,11	=	0.004248723194				
d3,12	=	0.004248723194				
d3,13	=	-0.000012659080				
d3,14	=	-0.000012659080				
d3,15	=	-0.000113931718				
d3,16	=	-0.000113931718				
d3,17	=	0.004912672975				
d3,18	=	0.004912672975				
d3,19	=	0.044214056772				
d3,20	=	0.044214056772				

	giriş				cıkış	hedef değer
4	0.100	0.900	0.100	0.100	0.900	0.900

d4,1 = 0.089876307493  
d4,2 = 0.062960671611  
d4,3 = 0.002606258289  
d4,4 = 0.089147941458  
d4,5 = -0.000083836571  
d4,6 = -0.000754529135  
d4,7 = -0.000083836571  
d4,8 = -0.000083836571  
d4,9 = 0.020535130101  
d4,10 = 0.184816170912  
d4,11 = 0.020535130101  
d4,12 = 0.020535130101  
d4,13 = -0.002407644803  
d4,14 = -0.021668803229  
d4,15 = -0.002407644803  
d4,16 = -0.002407644803  
d4,17 = 0.000722681831  
d4,18 = 0.006504136481  
d4,19 = 0.000722681831  
d4,20 = 0.000722681831

5	0.100	0.900	0.100	0.900	0.100	0.100
---	-------	-------	-------	-------	-------	-------

d5,1 = 0.060509589039  
d5,2 = 0.000439335538  
d5,3 = 0.000014091941  
d5,4 = 0.084296798538  
d5,5 = -0.020556595181  
d5,6 = -0.185009356632  
d5,7 = -0.020556595181  
d5,8 = -0.185009356632  
d5,9 = 0.000475146069  
d5,10 = 0.004276314619  
d5,11 = 0.000475146069  
d5,12 = 0.004276314619  
d5,13 = -0.000013404362  
d5,14 = -0.000120639261  
d5,15 = -0.000013404362  
d5,16 = -0.000120639261  
d5,17 = 0.004913285203  
d5,18 = 0.044219566828  
d5,19 = 0.004913285203  
d5,20 = 0.044219566828

	giriş				cıkış	hedef değer
6	0.100	0.900	0.900	0.100	0.100	0.100
d6,1	=	0.060510983517				
d6,2	=	0.000441020572				
d6,3	=	0.000014596941				
d6,4	=	0.084297240319				
d6,5	=	-0.020556614845				
d6,6	=	-0.185009533605				
d6,7	=	-0.185009533605				
d6,8	=	-0.020556614845				
d6,9	=	0.000476959518				
d6,10	=	0.004292635662				
d6,11	=	0.004292635662				
d6,12	=	0.000476959518				
d6,13	=	-0.000013884644				
d6,14	=	-0.000124961800				
d6,15	=	-0.000124961800				
d6,16	=	-0.000013884644				
d6,17	=	0.004913807579				
d6,18	=	0.044224268214				
d6,19	=	0.044224268214				
d6,20	=	0.004913807579				
7	0.100	0.900	0.900	0.900	0.894	0.900
d7,1	=	0.000356959115				
d7,2	=	0.000000981710				
d7,3	=	0.000000080697				
d7,4	=	0.062245098497				
d7,5	=	-0.000367625539				
d7,6	=	-0.003308629855				
d7,7	=	-0.003308629855				
d7,8	=	-0.003308629855				
d7,9	=	0.000001066919				
d7,10	=	0.000009602274				
d7,11	=	0.000009602274				
d7,12	=	0.000009602274				
d7,13	=	-0.000000076772				
d7,14	=	-0.000000690946				
d7,15	=	-0.000000690946				
d7,16	=	-0.000000690946				
d7,17	=	0.019353204877				
d7,18	=	0.174178843891				
d7,19	=	0.174178843891				
d7,20	=	0.174178843891				

	giriş				cıkış	hedef değeri
8	0.900	0.100	0.100	0.100	0.900	0.900
d8,1	=	0.089875533796				
d8,2	=	0.063028557394				
d8,3	=	0.002684253016				
d8,4	=	0.089147117982				
d8,5	=	-0.000754492364				
d8,6	=	-0.000083832485				
d8,7	=	-0.000083832485				
d8,8	=	-0.000083832485				
d8,9	=	0.184546473094				
d8,10	=	0.020505163677				
d8,11	=	0.020505163677				
d8,12	=	0.020505163677				
d8,13	=	-0.022297329805				
d8,14	=	-0.002477481089				
d8,15	=	-0.002477481089				
d8,16	=	-0.002477481089				
d8,17	=	0.006504500767				
d8,18	=	0.000722722307				
d8,19	=	0.000722722307				
d8,20	=	0.000722722307				
9	0.900	0.100	0.100	0.900	0.100	0.100
d9,1	=	0.060511260034				
d9,2	=	0.000440929253				
d9,3	=	0.000014526895				
d9,4	=	0.084297654728				
d9,5	=	-0.185009477106				
d9,6	=	-0.020556608567				
d9,7	=	-0.020556608567				
d9,8	=	-0.185009477106				
d9,9	=	0.004291751236				
d9,10	=	0.000476861248				
d9,11	=	0.000476861248				
d9,12	=	0.004291751236				
d9,13	=	-0.000124362245				
d9,14	=	-0.000013818027				
d9,15	=	-0.000013818027				
d9,16	=	-0.000124362245				
d9,17	=	0.044222738958				
d9,18	=	0.004913637662				
d9,19	=	0.004913637662				
d9,20	=	0.044222738958				

	giriş				çıkış	hedef değer
10	0.900	0.100	0.900	0.100	0.100	0.100
d10,1	=	0.060512610115				
d10,2	=	0.000442620044				
d10,3	=	0.000015047468				
d10,4	=	0.084298034602				
d10,5	=	-0.185009518173				
d10,6	=	-0.020556613130				
d10,7	=	-0.185009518173				
d10,8	=	-0.020556613130				
d10,9	=	0.004308127449				
d10,10	=	0.000478680828				
d10,11	=	0.004308127449				
d10,12	=	0.000478680828				
d10,13	=	-0.000128818041				
d10,14	=	-0.000014313116				
d10,15	=	-0.000128818041				
d10,16	=	-0.000014313116				
d10,17	=	0.044227408180				
d10,18	=	0.004914156464				
d10,19	=	0.044227408180				
d10,20	=	0.004914156464				
11	0.900	0.100	0.900	0.900	0.894	0.900
d11,1	=	0.000357011463				
d11,2	=	0.000000985379				
d11,3	=	0.000000083196				
d11,4	=	0.062250321291				
d11,5	=	-0.003309114564				
d11,6	=	-0.000367679396				
d11,7	=	-0.003309114564				
d11,8	=	-0.003309114564				
d11,9	=	0.000009638166				
d11,10	=	0.000001070907				
d11,11	=	0.000009638166				
d11,12	=	0.000009638166				
d11,13	=	-0.000000712342				
d11,14	=	-0.000000079149				
d11,15	=	-0.000000712342				
d11,16	=	-0.000000712342				
d11,17	=	0.174200968745				
d11,18	=	0.019355663194				
d11,19	=	0.174200968745				
d11,20	=	0.174200968745				

	giriş				cıkış	hedef değer
12	0.900	0.900	0.100	0.100	0.100	0.100
d12,1	=	0.060514702021				
d12,2	=	0.000445506211				
d12,3	=	0.000015933407				
d12,4	=	0.084298157901				
d12,5	=	-0.185006494249				
d12,6	=	-0.185006494249				
d12,7	=	-0.020556277139				
d12,8	=	-0.020556277139				
d12,9	=	0.004336079879				
d12,10	=	0.004336079879				
d12,11	=	0.000481786653				
d12,12	=	0.000481786653				
d12,13	=	-0.000136401024				
d12,14	=	-0.000136401024				
d12,15	=	-0.000015155669				
d12,16	=	-0.000015155669				
d12,17	=	0.044232706299				
d12,18	=	0.044232706299				
d12,19	=	0.004914745144				
d12,20	=	0.004914745144				
13	0.900	0.900	0.100	0.900	0.894	0.900
d13,1	=	0.000357111598				
d13,2	=	0.000000992030				
d13,3	=	0.000000088112				
d13,4	=	0.062260358426				
d13,5	=	-0.003310041769				
d13,6	=	-0.003310041769				
d13,7	=	-0.000367782419				
d13,8	=	-0.003310041769				
d13,9	=	0.000009703218				
d13,10	=	0.000009703218				
d13,11	=	0.000001078135				
d13,12	=	0.000009703218				
d13,13	=	-0.000000754436				
d13,14	=	-0.000000754436				
d13,15	=	-0.000000083826				
d13,16	=	-0.000000754436				
d13,17	=	0.174243490548				
d13,18	=	0.174243490548				
d13,19	=	0.019360387839				
d13,20	=	0.174243490548				

	giriş				cıkış	hedef değeri
14	0.900	0.900	0.900	0.100	0.894	0.900
d14,1	=	0.000357185491				
d14,2	=	0.000000996015				
d14,3	=	0.000000091285				
d14,4	=	0.062268877057				
d14,5	=	-0.003310726263				
d14,6	=	-0.003310726263				
d14,7	=	-0.003310726263				
d14,8	=	-0.000367858474				
d14,9	=	0.000009742192				
d14,10	=	0.000009742192				
d14,11	=	0.000009742192				
d14,12	=	0.000001082466				
d14,13	=	-0.000000781603				
d14,14	=	-0.000000781603				
d14,15	=	-0.000000781603				
d14,16	=	-0.000000086845				
d14,17	=	0.174279662634				
d14,18	=	0.174279662634				
d14,19	=	0.174279662634				
d14,20	=	0.019364406959				
15	0.900	0.900	0.900	0.900	0.126	0.100
d15,1	=	0.000000766360				
d15,2	=	0.000000002424				
d15,3	=	0.000000000554				
d15,4	=	0.021961597630				
d15,5	=	-0.000007130066				
d15,6	=	-0.000007130066				
d15,7	=	-0.000007130066				
d15,8	=	-0.000007130066				
d15,9	=	0.000000023706				
d15,10	=	0.000000023706				
d15,11	=	0.000000023706				
d15,12	=	0.000000023706				
d15,13	=	-0.000000004746				
d15,14	=	-0.000000004746				
d15,15	=	-0.000000004746				
d15,16	=	-0.000000004746				
d15,17	=	0.142557561394				
d15,18	=	0.142557561394				
d15,19	=	0.142557561394				
d15,20	=	0.142557561394				

Tablo3.4

4 bit parite problemi için sistem duyarlıkları

ağırlık	duyarlık
w[2,0,0]	d0,1
w[2,0,1]	d0,2
w[2,0,2]	d0,3
w[2,0,3]	d0,4
w[1,0,0]	d10,5
w[1,0,1]	d6,6
w[1,0,2]	d3,7
w[1,0,3]	d3,8
w[1,1,0]	d8,9
w[1,1,1]	d4,10
w[1,1,2]	d2,11
w[1,1,3]	d1,12
w[1,2,0]	d0,13
w[1,2,1]	d0,14
w[1,2,2]	d0,15
w[1,2,3]	d1,16
w[1,3,0]	d14,17
w[1,3,1]	d14,18
w[1,3,2]	d14,19
w[1,3,3]	d13,20

### 3.5 GAUSS PROBLEMİ İÇİN DUYARLIK

Sistem ağırlıkları ve çıkışları:

Matrisel olarak,

$$W(3) = [ w(3,0,0) \quad w(3,0,1) ]$$

$$W(2) = \begin{bmatrix} w(2,0,0) & w(2,0,1) \\ w(2,1,0) & w(2,1,1) \end{bmatrix}$$

$$W(1) = \begin{bmatrix} w(1,0,0) \\ w(1,1,0) \end{bmatrix}$$

$$w_1 = w[3,0,0] \quad w_2 = w[3,0,1]$$

$$w_3 = w[2,0,0] \quad w_4 = w[2,0,1]$$

$$w_5 = w[2,1,0] \quad w_6 = w[2,1,1]$$

$$w_7 = w[1,0,0] \quad w_8 = w[1,1,0]$$

$$O[3,0] = y_{3,0} = y$$

$$O[2,0] = y_{2,0} \quad O[2,1] = y_{2,1}$$

$$O[1,0] = y_{1,0} \quad O[1,1] = y_{1,1}$$

$$O[0,0] = y_{0,0}$$

$$y_{3,0} = \frac{1}{1 + e^{-(w_1 y_{2,0} + w_2 y_{2,1})}} \quad [3.5.1]$$

$$y_{2,0} = \frac{1}{1 + e^{-(w_3 y_{1,0} + w_4 y_{1,1})}} \quad [3.5.2]$$

$$y_{2,1} = \frac{1}{1+e^{-(w_5*y_{1,0}+w_6*y_{1,1})}} \quad [3.5.3]$$

$$y_{1,0} = \frac{1}{1+e^{-(w_7*y_{0,0})}} \quad [3.5.4]$$

$$y_{1,1} = \frac{1}{1+e^{-(w_8*y_{0,0})}} \quad [3.5.5]$$

Gizli katman çıkışlarının ağırlıklara göre türevleri:

$$\frac{\partial y_{2,0}}{\partial w_3} = y_{1,0}*y_{2,0}*(1-y_{2,0}) \quad [3.5.6]$$

$$\frac{\partial y_{2,0}}{\partial w_4} = y_{1,1}*y_{2,0}*(1-y_{2,0}) \quad [3.5.7]$$

$$\frac{\partial y_{2,1}}{\partial w_5} = y_{1,0}*y_{2,1}*(1-y_{2,1}) \quad [3.5.8]$$

$$\frac{\partial y_{2,1}}{\partial w_6} = y_{1,1}*y_{2,1}*(1-y_{2,1}) \quad [3.5.9]$$

$$\frac{\partial y_{1,0}}{\partial w_7} = y_{0,0}*y_{1,0}*(1-y_{1,0}) \quad [3.5.10]$$

$$\frac{\partial y_{1,1}}{\partial w_8} = y_{0,0}*y_{1,1}*(1-y_{1,1}) \quad [3.5.11]$$

Çıkışın ağırlıklara göre duyarlılığı

$$S_{w_1}^y = y_{2,0}*y_{3,0}*(1-y_{3,0}) \quad [3.5.12]$$

$$S_{w_2}^y = y_{2,1}*y_{3,0}*(1-y_{3,0}) \quad [3.5.13]$$

$$S_{w_3}^y = w_1 * y_{1,0} * y_{2,0} * (1 - y_{2,0}) * y_{3,0} * (1 - y_{3,0}) \quad [3.5.14]$$

$$S_{w_4}^y = w_1 * y_{1,1} * y_{2,0} * (1 - y_{2,0}) * y_{3,0} * (1 - y_{3,0}) \quad [3.5.15]$$

$$S_{w_5}^y = w_2 * y_{1,0} * y_{2,1} * (1 - y_{2,1}) * y_{3,0} * (1 - y_{3,0}) \quad [3.5.14]$$

$$S_{w_6}^y = w_2 * y_{1,1} * y_{2,1} * (1 - y_{2,1}) * y_{3,0} * (1 - y_{3,0}) \quad [3.5.17]$$

$$S_{w_7}^y = [w_1 * w_3 * y_{0,0} * y_{1,0} * (1 - y_{1,0}) * y_{2,0} * (1 - y_{2,0}) +$$

$$w_2 * w_5 * y_{0,0} * y_{1,0} * (1 - y_{1,0}) * y_{2,1} * (1 - y_{2,1})] * y_{3,0} * (1 - y_{3,0}) \quad [3.5.18]$$

$$S_{w_8}^y = [w_1 * w_4 * y_{0,0} * y_{1,1} * (1 - y_{1,1}) * y_{2,0} * (1 - y_{2,0}) +$$

$$w_2 * w_6 * y_{0,0} * y_{1,1} * (1 - y_{1,1}) * y_{2,1} * (1 - y_{2,1})] * y_{3,0} * (1 - y_{3,0}) \quad [3.5.19]$$

	giriş	çıkış	hedef değer
0	-1.99	0.008	0.000
d0,1	=	0.000748578040	
d0,2	=	0.000206208451	
d0,3	=	0.000000397547	
d0,4	=	0.000004067814	
d0,5	=	0.000000246339	
d0,6	=	0.000002520607	
d0,7	=	-0.000004305483	
d0,8	=	-0.000027855989	
1	-1.04	0.008	0.000
d1,1	=	0.000783725980	
d1,2	=	0.000219874248	
d1,3	=	0.000007475261	
d1,4	=	0.000036508199	
d1,5	=	0.000004725391	
d1,6	=	0.000023078193	
d1,7	=	-0.000042677949	
d1,8	=	-0.000130375856	
2	0.177	0.014	0.000
d2,1	=	0.002236350694	
d2,2	=	0.000918017627	
d2,3	=	0.000722278026	
d2,4	=	0.001267097854	
d2,5	=	0.000692192019	
d2,6	=	0.001214317743	
d2,7	=	0.000783422409	
d2,8	=	0.000780911617	
3	-0.30	0.009	0.000
d3,1	=	0.001030112160	
d3,2	=	0.000321887391	
d3,3	=	0.000090605361	
d3,4	=	0.000240646926	
d3,5	=	0.000064426724	
d3,6	=	0.000171116728	
d3,7	=	-0.000153808142	
d3,8	=	-0.000245368739	
4	-1.88	0.008	0.000
d4,1	=	0.000749762601	
d4,2	=	0.000206663586	
d4,3	=	0.000000560333	
d4,4	=	0.000005258054	
d4,5	=	0.000000347445	
d4,6	=	0.000003260357	
d4,7	=	-0.000005728432	
d4,8	=	-0.000033973723	

	giriş	çıkış	hedef değer
5	2.233	0.991	1.000
d5,1	=	0.007732618908	
d5,2	=	0.008372076840	
d5,3	=	0.002919509401	
d5,4	=	0.002855073468	
d5,5	=	0.002243979599	
d5,6	=	0.002194453154	
d5,7	=	0.000599565984	
d5,8	=	0.000900527810	
6	3.225	0.992	1.000
d6,1	=	0.007302069460	
d6,2	=	0.007865906069	
d6,3	=	0.002564209967	
d6,4	=	0.002555880292	
d6,5	=	0.001849174723	
d6,6	=	0.001843167795	
d6,7	=	0.000036567940	
d6,8	=	0.000122110900	
7	3.321	0.992	1.000
d7,1	=	0.007294358006	
d7,2	=	0.007856817131	
d7,3	=	0.002557587561	
d7,4	=	0.002550802093	
d7,5	=	0.001842145048	
d7,6	=	0.001837257701	
d7,7	=	0.000027995974	
d7,8	=	0.000100787158	
8	1.596	0.987	1.000
d8,1	=	0.010666270410	
d8,2	=	0.011793586874	
d8,3	=	0.005238990078	
d8,4	=	0.004984977231	
d8,5	=	0.005281121182	
d8,6	=	0.005025065606	
d8,7	=	0.005736103643	
d8,8	=	0.004981072557	
9	0.124	0.013	0.000
d9,1	=	0.001940889388	
d9,2	=	0.000760982360	
d9,3	=	0.000548952797	
d9,4	=	0.001008653310	
d9,5	=	0.000500353009	
d9,6	=	0.000919355400	
d9,7	=	0.000411434386	
d9,8	=	0.000432439306	

Tablo 3.5

Gauss problemi için sistem duyarlılıkları

ağırlık	duyarlık
-----	-----
w[3,0,0]	d8,1
w[3,0,1]	d8,2
w[2,0,0]	d8,3
w[2,0,1]	d8,4
w[2,1,0]	d8,5
w[2,1,1]	d8,6
w[1,0,0]	d8,7
w[1,1,0]	d8,8



## BÖLÜM 4

### SONUÇ

Bu çalışmada çok katmanlı algılayıcının gizli katmandaki düğüm sayısına, öğrenme oranındaki ve momentum katsayısındaki değişimlere göre performansı incelendi. Bunun için öğrenme ve test hataları referans olarak alındı. Öğrenme oranı artırıldığında xor ve gauss problemi için başlangıçta hata değerinin büyük olduğu ancak daha sonra azaldığı ; parite problemlerinde sistem daha büyüdüğü için başlangıçta hata değerinin küçüldüğü ancak daha sonraki iterasyonlarda hata yakınsamasının geciktiği gözlemlendi.

Momentum katsayısının azaltılması tüm problemlerde hatanın büyümesine yol açtı. Çünkü momentum katsayısı azaltıldığında bir önceki ağırlık değişiminin o andaki ağırlık değişimine etkisi azalmaktadır.

Gizli katmandaki düğüm sayısını artırmanın, basit bir ağ yapısına sahip olan xor problemi için hata değerinde pek fazla değişim yapmadığı, ancak parite problemlerinde sistem büyüdüğü için hesaplamaların artması nedeni ile yakınsama zamanının geciktiği gözlemlendi. Gauss problemi için ise gizli katmanda 3 düğüm kullanmanın hatayı minimize etmek açısından uygun bir çözüm olduğu bulundu.

Ayrıca çok katmanlı algılayıcının, ağırlıklara göre duyarlılığı ele alındı. Duyarlık tanımına göre ağ ağırlıklarında meydana gelen küçük bir değişimin ağ çıkışı nasıl etkilediğini bulmak için çıkışın ayrı ayrı ağırlıklara göre türevi hesaplandı. Sistem çıkışının ağırlıklara göre duyarlılığı formüller halinde ifade edildi. Ele alınan tüm problemler için 10000 iterasyondan sonraki ağırlık ve düğüm çıkışları kullanılarak; elde edilen formüller yardımı ile duyarlık hesabı yapıldı.

EK 1

BİLGİSAYAR PROGRAMI



```
PROGRAM Xor_Problemi;
{$N+,E+}
CONST
Layers_Max   = 3;      { Maksimum katman sayısı }
Nodes_Max    = 2;      { Her katmandaki maksimum düğüm sayısı }
Outputs_Max  = 4;      { Giriş kombinasyon sayısı }
Input_Nodes  = 2;      { Giriş katmanındaki düğüm sayısı }
Output_Nodes = 1;      { Çıkış katmanındaki düğüm sayısı }
Hidden_Nodes = 2;      { Gizli katmandaki düğüm sayısı }
Epsilon      = 0.2;
Alpha        = 0.9;
Iterative_Max = 10000; { Maksimum iterasyon sayısı }
Every        = 1000;   { Her iterasyon sonrası sonuç yazılması }
VAR
i, ii, j, count, isylla, num : integer;
eps, alp, err, error, terr, terror, total_rate: double;
Layers, Inputs, Outputs : integer;
Node      : array [0..Layers_Max-1] of integer;
matrix    : array [0..Outputs_Max-1, 0..(Input_Nodes+Output_Nodes-1)] of double;
matrix_tmp: array [0..trunc(Iterative_Max/Every), 0..Outputs_Max-1,
                  0..(Input_Nodes+Output_Nodes-1)] of double;

des       : double;
rate      : array [0..Outputs_Max-1] of double;
out       : array [0..Layers_Max-1, 0..Nodes_Max-1] of double;
der       : array [0..Layers_Max-1, 0..Nodes_Max-1] of double;
theta     : array [0..Layers_Max-1, 0..Nodes_Max-1] of double;
dtheta    : array [0..Layers_Max-1, 0..Nodes_Max-1] of double;
weight    : array [0..Layers_Max-1, 0..Nodes_Max-1, 0..Nodes_Max-1] of double;
dweight   : array [0..Layers_Max-1, 0..Nodes_Max-1, 0..Nodes_Max-1] of double;
dess      : array [0..Outputs_Max-1] of double;

st1: string[5];
st2, st3, st4: string[10];
outfile : text;

procedure Wrand;
{ Program başlangıcında ağırlık ve düğüm ofset değerlerinin belirlenmesi }
var
li, ni, ni_end, no, no_end : integer;
drand48, power: double;
begin
power:=1.0;
for li:=1 to 31 do
power:=power*2;
power:=power-1;
{ Randomize offsets }
for li:=1 to Layers_Max-1 do
begin
ni_end:=node[li];
for ni:=0 to ni_end-1 do
begin
drand48:=Random(30)/100;
theta[li,ni]:= drand48;
```

```
        dtheta[li,ni]:=0;
    end;
end;

{ Rasgele ağırlıklar }
for li:=1 to Layers_Max-1 do
begin
    ni_end:=node[li];
    no_end:=node[li-1];
    for ni:=0 to ni_end-1 do
        for no:=0 to no_end-1 do
            begin
                drand48:=Random(100)/100;
                weight[li,ni,no]:=drand48;
                dweight[li,ni,no]:=0;
            end;
        end;
    end;
end; { procedure WRAND }

procedure Initial;
{ Her iterasyondan önce her bir düğüm çıkışının sıfıra set edilmesi }
VAR
l, n, n_end: integer;
begin
    for l:= 0 to Layers-1 do
        begin
            n_end:= node[l];
            for n:= 0 to n_end-1 do
                out[l,n]:= 0;
            end;
        end;
    end; { procedure INITIAL }

procedure yread ( isylla: integer );
{ Giriş paternini oku ( dört farklı giriş kombinasyonu için ) }
begin
    case isylla of
        0: begin out[0,0]:=0.1; out[0,1]:=0.1; end;
        1: begin out[0,0]:=0.1; out[0,1]:=0.9; end;
        2: begin out[0,0]:=0.9; out[0,1]:=0.1; end;
        3: begin out[0,0]:=0.9; out[0,1]:=0.9; end;
    end;
end; { procedure YREAD }

function sigmoid( x: double ): double;
{ sigmoid fonksiyonu }
var
y: double;
begin
    y:=1/(1+exp(-x));
    sigmoid:=y;
end; { function SIGMOID }
```

```
procedure wforward;
{ ileri yön propagasyonu }
var
li, ni, ni_end, no, no_end: integer;
x, th: double;
begin
  for li:=1 to Layers-1 do
  begin
    ni_end:= node[li];
    no_end:= node[li-1];
    for ni:= 0 to ni_end-1 do
    begin
      x:= 0;
      for no:= 0 to no_end-1 do
        x:= x + weight[li,ni,no] * out[li-1,no];
        out[li,ni]:= sigmoid( x-theta[li,ni] );
      end;
    end;
  end;
end; { procedure FORWARD }
```

```
function back: double;
{ geriye doğru propagasyon }
var
li, ni, ni_end, no, no_end: integer;
e, err, x, d, w, y: double;
begin
  err:=0;
  for ni:=0 to outputs-1 do
  begin
    y:= out[2,ni];
    e:= des - y;
    der[2,ni]:= e*y*(1-y);
    err:=err+ e*e;
  end;

  for li:=2 downto 1 do
  begin
    no_end:= node[li-1];
    ni_end:= node[li];
    for no:= 0 to no_end-1 do
    begin
      x:= 0;
      y:= out[li-1,no];
      for ni:= 0 to ni_end-1 do
      begin
        d:= der[li,ni];
        w:= weight[li,ni,no];
        x:= x + d*w;
      end;
      der[li-1,no]:= y*(1-y)*x;
    end;
  end;
  back:= 0.5*err;
end; { function BACK }
```

```
procedure learning (alp, eps: double );
{ ağırlık ve ofset değerlerini ayarlama}
var
li, lo, ni, ni_end, no, no_end: integer;
di, yo, ew, et: double;
begin
  for li:= 1 to layers-1 do
  begin
    ni_end:= node[li];
    for ni:= 0 to ni_end-1 do
    begin
      et:= der[li,ni];
      dtheta[li,ni]:= -eps*et + alp*dtheta[li,ni];
      theta[li,ni]:= theta[li,ni] + dtheta[li,ni];
    end;
  end;
  for li:=1 to layers-1 do
  begin
    lo:= li-1;
    ni_end:= node[li];
    no_end:= node[lo];
    for ni:= 0 to ni_end-1 do
    begin
      di:= der[li,ni];
      for no:= 0 to no_end-1 do
      begin
        yo:= out[lo,no];
        ew:= di*yo;
        dweight[li,ni,no]:= eps*ew + alp*dweight[li,ni,no];
        weight[li,ni,no]:= weight[li,ni,no] + dweight[li,ni,no];
      end;
    end;
  end;
end; { procedure LEARNING }
```

```
procedure make_matrix( it, isylla: integer );
var
i,j: integer;
begin
  for i:= 0 to inputs-1 do
    matrix_tmp[it,isylla,i]:= out[0,i];
  for i:= 0 to outputs-1 do
    matrix_tmp[it,isylla,inputs+i]:= out[Layers_Max-1,i];
end; { procedure MAKE_MATRIX }
```

```
begin { main }
```

```
FOR I:= 0 TO 0 DO WRITELN ('LALE');
node[2]:= Output_Nodes;
Outputs:= Output_Nodes;
node[1]:= Hidden_Nodes;
node[0]:= Input_Nodes;
```

```
Inputs:= Input_Nodes;
Layers:= Layers_Max;
eps:= Epsilon;
alp:= Alpha;
num:= Outputs_Max; { here 4 }

{ *****
  HEDEF DEĞER OKUMA
  ***** }
dess[0]:= 0.1;
dess[1]:= 0.9;
dess[2]:= 0.9;
dess[3]:= 0.1;

{ ***** ~
  MATRİS BELİRLEME
  ***** }
for i:= 0 to num-1 do
  for j:= 0 to ( inputs+Outputs-1 ) do
    matrix[i,j]:= 0;

for ii:= 0 to ( Trunc(Iterative_Max/Every)-1 ) do
  for i:= 0 to num-1 do
    for j:= 0 to ( inputs+Outputs-1 ) do
      matrix_tmp[ii,i,j]:=0;

{ öğrenme başlangıcı .... }

Wrand;
j:= 0;
assign ( outfile,'OUTFILE.TXT');
rewrite( outfile );
{ *****
  ÖĞRENME FAZİ
  ***** }
while ( j < Iterative_Max ) do
begin
  for count:= 0 to Every-1 do
  begin
    error:= 0;
    for isylla:=0 to num-1 do
    begin
      initial;
      yread( isylla );
      des:=dess[ isylla ]; { hedef patern okuma }
      wforward;
      err:= back;
      learning( alp, eps );
      error:= error+err;
    end;
    error:= error / outputs;
    eps:= 0.5 * sqrt( error );
    Inc( j );
  end;
end;
```

```
{ *****  
      TEST FAZI  
      ***** }  
  terror:= 0;  
  for isylla:= 0 to num-1 do  
  begin  
    yread( isylla );  
    wforward;  
    des:=dess[ isylla ];  
    terr:= back;  
    terror:= terror + terr;  
    make_matrix( trunc( j/Every ) - 1, isylla );  
  end;  
  writeln( outfile, '          giriş          çıkış          hedef değer');  
  writeln( outfile, '-----          -----          -----');  
  for i:= 0 to num-1 do  
  begin  
    str( i:5, st1 );  
    write(outfile,st1+' ');  
    for ii:= 0 to inputs-1 do  
    begin  
      str( matrix_tmp[trunc(j/Every)-1,i,ii]:4:3, st1 );  
      write(outfile,st1+' ');  
    end;  
    write( outfile, ' ');  
    for ii:= 0 to outputs-1 do  
    begin  
      str( matrix_tmp[trunc(j/Every)-1,i,inputs+ii]:4:3, st1);  
      write( outfile, st1+' ');  
    end;  
    str( dess[i]:4:3, st1 );  
    writeln( outfile, st1 );  
  end;  
  terror:= terror/outputs;  
  str ( j:5, st1 ); str ( eps:9:6, st2 );  
  str ( error:9:6, st3 ); str ( terror:9:6, st4 );  
  writeln( outfile, 'iterasyon=',st1,' eps=',st2,  
    ' hata_1=', st3, ' hata_t=', st4 );  
  writeln( outfile );  
{ }  
  total_rate:=0;  
  for isylla:= 0 to outputs-1 do  
  begin  
    rate[isylla]:= trunc(matrix_tmp[trunc(j/Every)-1,isylla,isylla]);  
    total_rate:= total_rate + rate[isylla];  
  end;  
  total_rate:= total_rate/outputs;  
{ }  
  if ( j = Iterative_Max ) then  
  begin  
    writeln( outfile, 'öğrenme ve test sona erdi' );  
  end;  
end;  
close ( outfile );  
end.
```

KAYNAKLAR

- [1] Parallel Distributed Processing Vol 1: Foundations MIT Press  
Eight Printing 1988
- [2] Richard P. Lippmann, 'An Introduction To Computing With Neural  
Nets', IEEE Assp Magazine April 1987
- [3] Jin Young Choi and Chong-Ho Choi, 'Sensitivity Analysis Of  
Multilayer Perceptron With Differentiable Activation Functions'  
IEEE Transactions On Neural Networks, Vol:3, No:1 January 1992
- [4] Eric R. Buhrke and Joseph L. LoCicero, 'Fast Learning For  
Multilayer Perceptrons Using Statistical Techniques' IEEE ICASSP  
proc. 1992
- [5] Robert Slaviera, 'Optimising Backpropagation Learning Performance  
And Evaluation Of Neural Network Implementation Using DSP's'  
ICSPAT proc. 1992
- [6] Erkin Özmeteler, 'Yapay Nöral Ağlar' Yüksek Lisans Tezi İstanbul  
Teknik Üniversitesi 1989
- [7] Doç. Dr. Cevdet Acar, 'Duyarlık ve Tolerans Analizi' İ.T.Ü.  
Elektrik Fakültesi Devreler ve Sistemler Kürsüsü İstanbul 1979
- [8] Yoh-Han Pao, 'Adaptive Pattern Recognition and Neural Networks'  
Case Western Reserve University
- [9] Doç. Dr. Fikret Gürgen, 'Ders Notları' ,Boğaziçi Üniversitesi  
Bilgisayar Mühendisliği Bölümü

### ÖZGEÇMİŞ

29 Mayıs 1970 tarihinde İstanbul'da doğdu. İlkokulu Bartın Cumhuriyet İlkokulunda, ortaokulu Bartın Lisesinin orta kısmında, Lise 1 ve 2'yi Üsküdar Burhan Felek Lisesinde tamamladı. 1987 yılında Ataköy Lisesinden , 1991 yılında Yıldız Üniversitesi Mühendislik Fakültesi Elektronik ve Haberleşme Mühendisliği Bölümünden mezun oldu. 1991 - 1992 öğretim yılında yüksek lisans öğrenimine başladı. Şu anda Yıldız Teknik Üniversitesi Elektrik-Elektronik Fakültesi Elektronik ve Haberleşme Mühendisliği Bölümünde Araştırma Görevlisi olarak görev yapmaktadır.

**T.C. YÜKSEKÖĞRETİM KURULU  
EĞİTİM ARAŞTIRMA MERKEZİ**